

### 3. Standardmodell der Teilchen u. Kräfte:

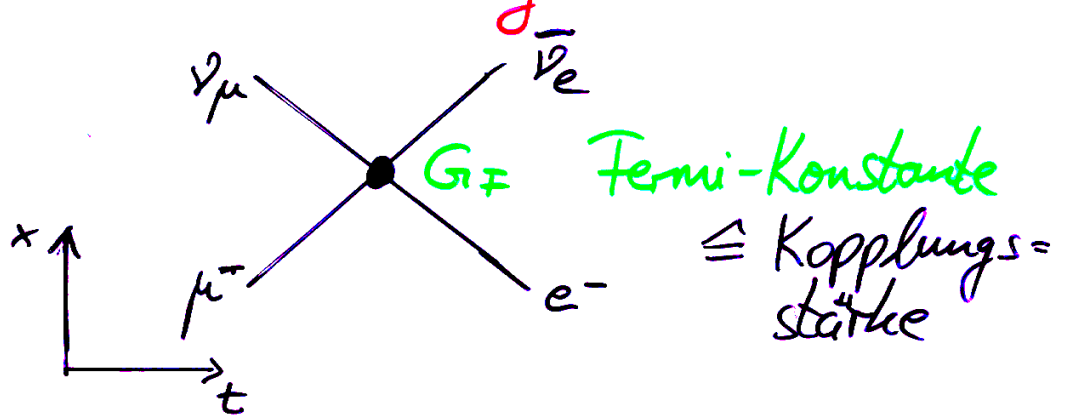
#### Elektroschwache Wechselwirkung

- schwache Wechselwirkung
  - ▷ Myon - Lebensdauer
  - ▷ Paritätsverletzung & Helizität
  - ▷ Probleme der Fermi-Theorie  $\rightarrow Z^0$  Bosonen
- Grundzüge der Eichtheorien
  - ▷ Struktur der elektroschwachen Wechselw.
- Experimente zur elektroschwachen Theorie
  - ▷ Physik des  $Z^0$ -Bosons
  - ▷ Physik der  $W^\pm$ -Bosonen
  - ▷ Konsistenz der elektroschwachen Theorie?

# Myon-Zerfall

1933 Fermi: Theorie zum  $\beta$ -Zerfall

Kontaktwechselwirkung



⇒ Lebensdauer des Myons:

$$\tau_\mu = \hbar \cdot \frac{192 \pi^3}{(m_\mu \cdot c^2)^5} \cdot \left( \frac{(\hbar c)^3}{G_F} \right)^2$$

Messung von  $\tau_\mu$  und  $a_\mu$

$$\Rightarrow G_F = (1.16637 \pm 0.00002) \cdot 10^{-5} \frac{(\hbar c)^3}{\text{GeV}^2}$$

Beachte:  $G_F$  ist dimensionsbehaftet

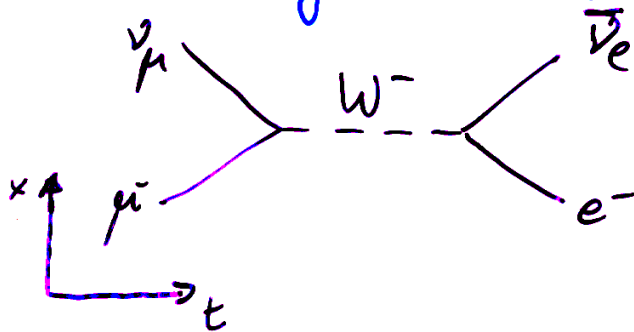
→ Fermi-Theorie versagt bei hohen Wechselwirkungsenergien, z.B.

$$\sigma_{\text{tot}}(\nu_e e^- \rightarrow e^- \nu_e) = \frac{G_F^2}{\pi (\hbar c)^4} \cdot S$$

( $S \equiv [\text{Energie im Schwerpunktsystem}]^2$ )

# Myon-Zerfall

Lösung: Fermi-Theorie ist Näherung im Niederenergiebereich für



$$m_W \gg 0$$

$$\Rightarrow \frac{G_F}{(\hbar c)^3} = \frac{\sqrt{2}}{8} \left( \frac{g_W}{m_W c^2} \right)^2$$

$g_W \hat{=} \text{schwache Ladung}$

$\rightarrow$  "schwache Feinstrukturkonstante"

$$\alpha_W = \frac{g_W^2}{4\pi} \approx \frac{1}{29} \text{ für } m_W \approx 80 \frac{\text{GeV}}{c^2}$$

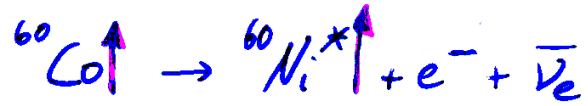
vgl.  $\alpha_{em} = \frac{e^2}{4\pi \epsilon_0 \hbar c} \left( \hat{=} \frac{e^2}{4\pi} \text{ in natürlichen Einheiten } \hbar=1, c=1 \text{ und Gauß-Heaviside } \epsilon_0=1 \right) \approx 1/137$

$\Rightarrow$  intrinsische schwache Kopplung ist stärker als magn. Kopplung!

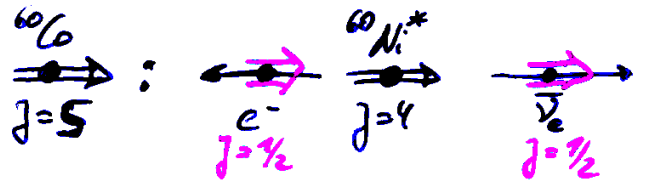
Schwache Kopplung ist schwach, weil Überträgerfelder ( $W$ -Bosonen) sehr massiv

# Paritätsverletzung & Helizität

1957 Wu et al.:



$e^-$  bewegt entgegen  ${}^{60}\text{Co}$ -Polarisation



→ Helizität:  $h \equiv \alpha \cdot \frac{\vec{\sigma} \cdot \vec{p}}{E} = \alpha \cdot \frac{v}{c}$

$\vec{\sigma}$ : Spinvektor

$\vec{p}$ : Impulsvektor

$$\alpha = \pm 1$$

(beachte: für  $m=0 \rightarrow c=1 \rightarrow h = \pm 1$ )

→ Paritätsverletzung:

▷ Parität  $P: (\vec{x}, t) \mapsto (-\vec{x}, t)$  "Spiegelung"

konkret:  $P | E, \vec{p}, \underbrace{j, \vec{\sigma}}_{\vec{p} \times \vec{p}}, q, \dots \rangle = | E, -\vec{p}, \underbrace{j, +\vec{\sigma}}_{-\vec{p} \times \vec{p}}, \dots \rangle$

allg.: Skalar  $P(s) = +s$

Pseudoskalar  $P(p) = -p$

Vektor  $P(\vec{v}) = -\vec{v}$

Pseudo-/Axialvektor  $P(\vec{a}) = +\vec{a}$

# Paritätsverletzung & Helizität

- schwache Wechselwirkung verletzt Parität:

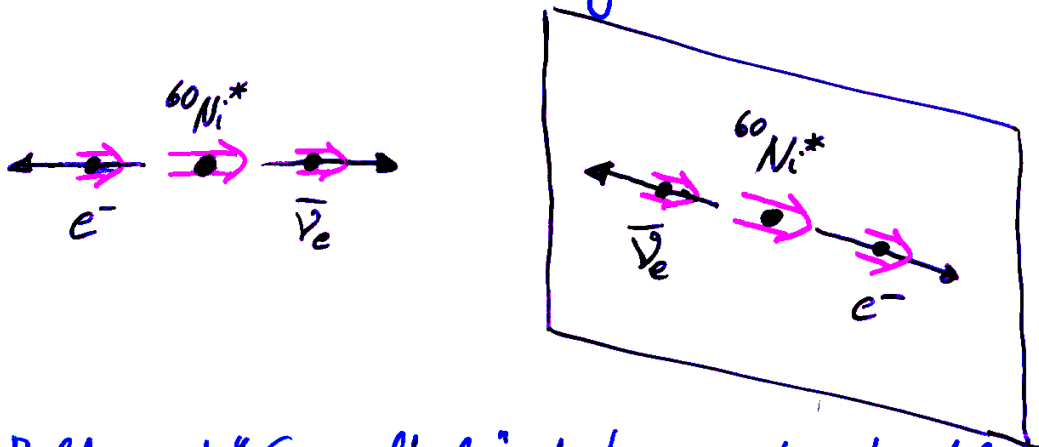
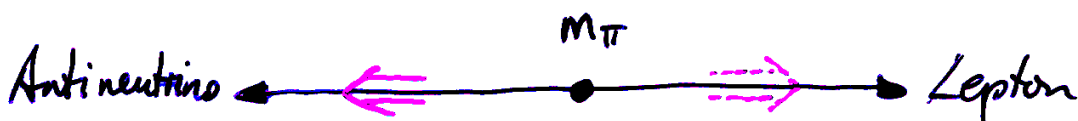


Bild und "Spiegelbild" haben unterschiedliche Wahrscheinlichkeiten (Bild häufig, Spiegelbild nie)

⇒  $e^-$  aus  $\beta$ -Zerfall (schwacher Ww.) ist linksständig  
 $\bar{\nu}_e$  " " " " rechtsständig  
 (≙ Linksschraube / Rechts-)

- weitere Beispiel:  $\pi^-$ -Zerfall



da  $\pi$  keinen Spin hat Lepton hat falsche Händigkeit (Helizität +1 statt -1)

⇒ Zerfall ist unterdrückt mit  $(1+h) = (1 - \frac{v}{c})$

$$\Rightarrow \frac{\pi^- \rightarrow e^- \bar{\nu}_e}{\pi^+ \rightarrow \mu^+ \bar{\nu}_\mu} \approx \left\{ \begin{array}{l} 1.3 \cdot 10^{-4} \quad \left(1 - \frac{v}{c}\right) \\ 5.5 \quad \left(1 + \frac{v}{c}\right) \end{array} \right\} \text{Unterdrückung}$$

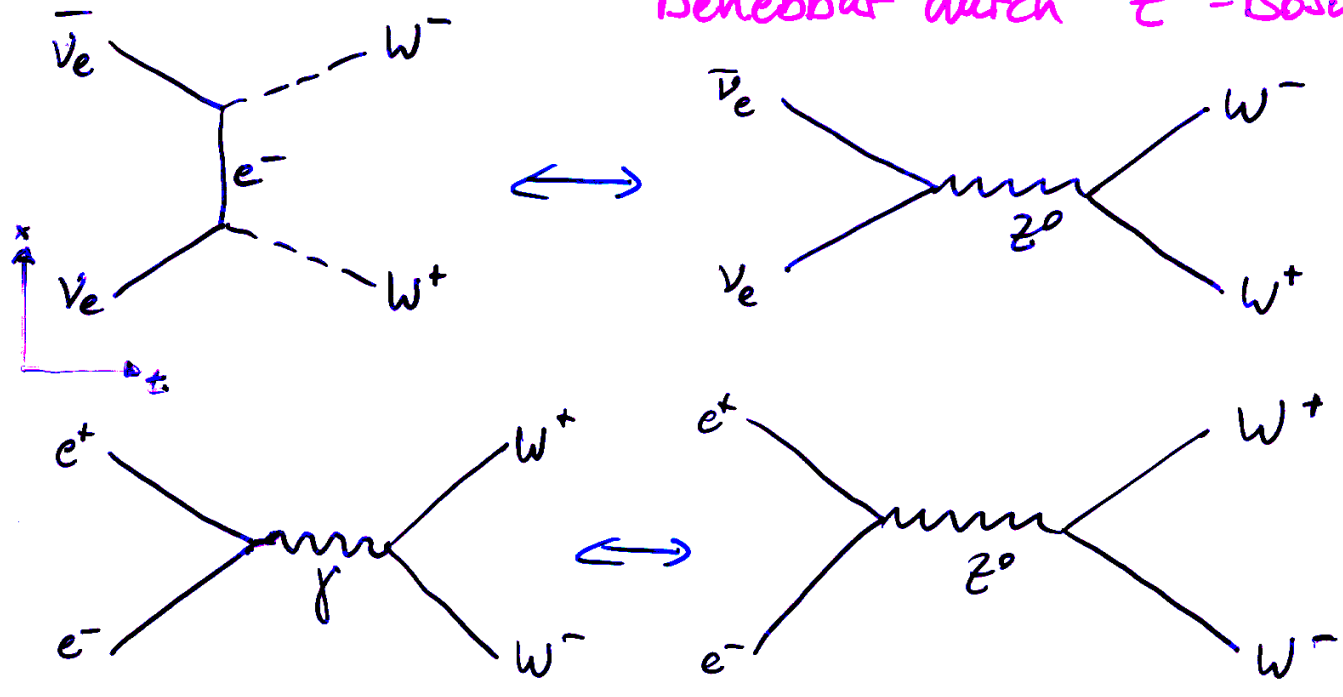
Experiment:  $\approx 1.27 \cdot 10^{-4}$

# Probleme der Fermi-Theorie

abgesehen von der bereits behandelten Divergenz des Wirkungsquerschnitts  $\sigma_{\text{tot}}(\nu_e + e^- \rightarrow e^- + \nu_e) \sim s$

→  $W^\pm$ -Boson als intermediäres Teilchen

weitere quadratische Divergenzen in den Prozessen:  
 behebbbar durch  $Z^0$ -Boson:

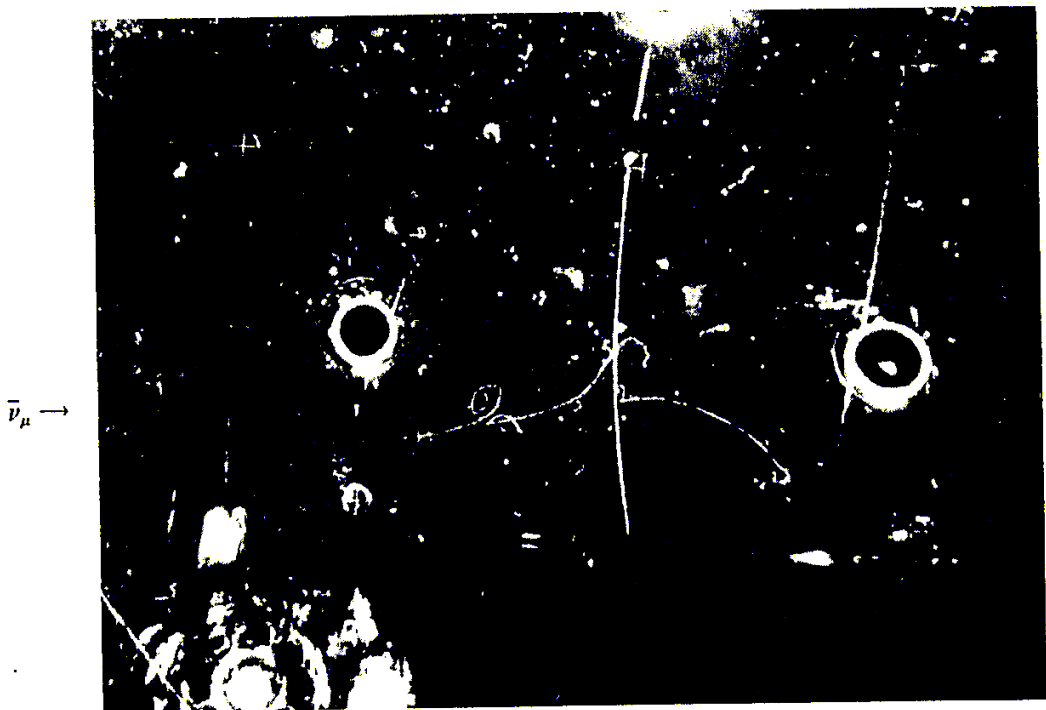
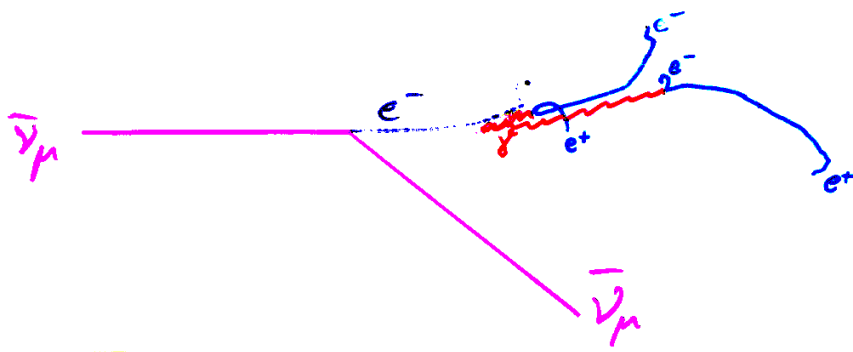
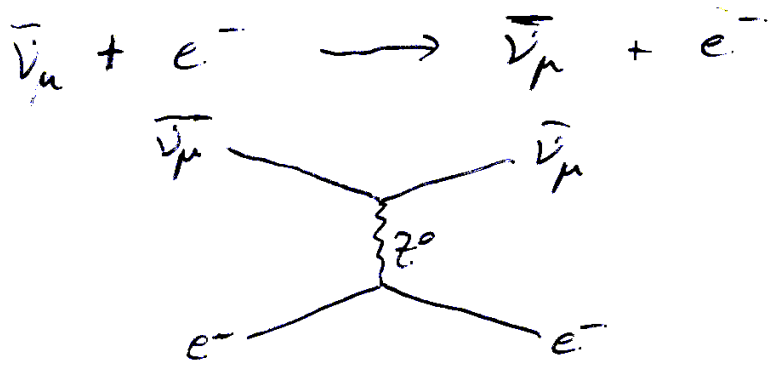


Grund: Anfangs- und Endzustand besitzen jeweils die gleichen Teilchen, dadurch können die Zwischenzustände zu Interferenzen führen, die destruktiv wirken und die quadratische Divergenz des Wirkungsquerschnittes vermindern: Symbolisch:

$$\sigma \sim \left| \begin{array}{c} e^+ \\ e^- \end{array} \right\rangle \left[ \begin{array}{c} W^+ \\ \gamma \\ W^- \end{array} \right] - \left[ \begin{array}{c} W^+ \\ Z^0 \\ W^- \end{array} \right] \left| \right|^2$$

# Entdeckung neutraler schwacher Wechselw.

1973 : neutraler schwacher Strom in



**Figure 10.6** The first picture of a neutral weak process ( $\bar{\nu}_\mu + e^- \rightarrow \bar{\nu}_\mu + e^-$ ). The neutrino enters from the left (leaving no track), and strikes an electron, which moves off horizontally to the right, emitting two photons (which show up in the picture only when they subsequently produce electron-positron pairs) as it slows down and spirals inward in the superimposed magnetic field. (Photo courtesy CERN.)

# Grundzüge der Eichtheorien

Erinnerung: Eichtransformation in E-Dynamik

$$\left. \begin{array}{l} \text{Potential } \phi \rightarrow \phi + \frac{\partial \chi(\vec{r}, t)}{\partial t} \\ \text{Vektorfeld } \vec{A} \rightarrow \vec{A} - \vec{\nabla} \chi(\vec{r}, t) \end{array} \right\} \begin{array}{l} \text{ohne Einfluß auf} \\ \text{Lösung der} \\ \text{Maxwell-Gleichungen} \end{array}$$

→ Eichinvarianz der E-Dynamik, weil

$$\vec{E} = -\vec{\nabla} \phi - \frac{\partial \vec{A}}{\partial t} \quad \text{und} \quad \vec{B} = \vec{\nabla} \times \vec{A} \quad \text{sich nicht ändern}$$

Potential  $\phi$  und Vektorfeld  $\vec{A}$  haben direkte physical. Bedeutung:

$e\phi \hat{=}$  potentielle Energie des Teilchens  
 $e\vec{A}$  beeinflusst die de-Broglie-Wellenlänge

(siehe Aharonov-Bohm-Effekt)  $\lambda = \frac{h}{|\vec{p}|} \quad ; \quad \vec{p} = m\vec{v} + e\vec{A}$

⇒ Eichtransformation beeinflusst die Phase der Wellenfkt. →  $H\psi = E\psi$  und  $H = T + V$

$$\rightarrow \psi'(\vec{r}, t) = \exp[ie\chi(\vec{r}, t)] \cdot \psi(\vec{r}, t)$$

$\psi'$  erfüllt Schrödinger-Gl. nach der Transformation  $\phi' = \phi + \frac{\partial \chi}{\partial t}$ ;  $\vec{A}' = \vec{A} - \vec{\nabla} \chi$



# Eichprinzip

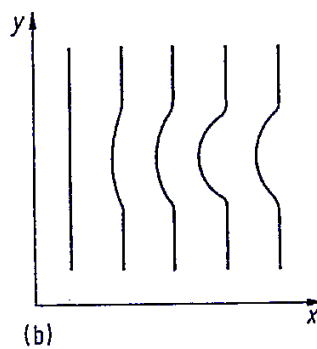
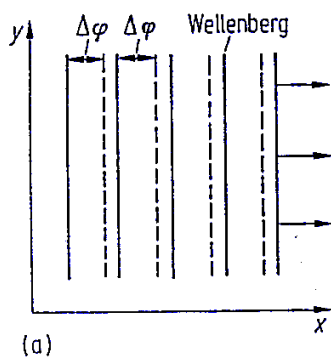
Wenn man die Phase der Wellenfkt. eines Teilchens lokal (ortsabhängig) beliebig abändert ( $\psi' = \exp(i\chi(\vec{r}, t)) \cdot \psi$ ), so muß man notgedrungen die Existenz eines äußeren Feldes fordern, damit das Teilchen weiterhin die Schrödinger-Gleichung erfüllt.

b. Forderung der lokalen Phaseninvarianz  $\rightarrow \exists$  electrom. Feld

Verallgemeinerung bei Eichtheorie der el. schwachen WW  
 $\rightarrow \exists W^\pm$ - und  $Z^0$ -Bosonen

Veranschaulichung des Prinzips an Wasserwellen

globale  
( $\chi = \text{const.}$ )



lokale  
Phasentransf.  
( $\chi = \chi(\vec{r}, t)$ )

Abb. 3.76 (a) In einem flachen Behälter breitet sich eine ebene Wasserwelle in positiver  $x$ -Richtung aus. Die Wellenberge sind als durchgezogene Linien angedeutet. Eine globale Phasentransformation besteht darin, daß man an jeden Ort  $(x, y)$  die Phase um den gleichen Betrag  $\Delta\varphi$  abändert. Dadurch wandern die Wellenberge zu den gestrichelten Linien. Es bleibt eine ebene Welle, und im zeitlichen Mittel hat die globale Phasentransformation keinen Effekt. (b) Bei einer lokalen Phasentransformation ist die Phasenänderung an jedem Ort verschieden:  $\Delta\varphi = f(x, y)$ . Die transformierte Welle ist keine ebene Welle mehr. Man könnte eine solche Veränderung durch ein Hindernis im Wasserbehälter erreichen. Lokale Phasentransformationen erfordern also die Existenz äußerer Kräfte.

# Struktur der elektroschwachen Wechselwirkung

- in Quantenelektrodynamik QED:

$$\psi \longrightarrow e^{ie\chi(\vec{r},t)} \cdot \psi \equiv U \cdot \psi \quad (U^\dagger U = \mathbb{1})$$

U ist eine unitäre  $1 \times 1$  Matrix aus der Gruppe  $U(1)$

- in der elektroschw. Ww (Quantenflavourdynamik QFD):

$$U \equiv e^{iH} \quad \text{und} \quad U \in \underline{U(1) \otimes SU(2)}$$

$$\text{konkret} \quad H = \theta \cdot \mathbb{1} + \vec{\tau} \cdot \vec{a}$$

$$(\text{Pauli-Matrizen } \vec{\tau} = (\tau_1, \tau_2, \tau_3))$$

$$\theta, a_1, a_2, a_3 \text{ reelle Fkt. ; } \vec{a} = (a_1, a_2, a_3)$$

in QED war  $U(1)$  der elektr. Ladung zugeordnet

in QFD ist:  $U(1)$  einer <sup>schwachen</sup> Hyperladung  $Y = 2 \cdot (Q - I_3)$

$SU(2)$  einem schwachen Isospin  $I$   
mit dritter Komponente  $I_3$  zugeordnet

$SU(2)$  sorgt für Einteilung der Teilchen in Dubletts

$$\begin{pmatrix} \nu_e \\ e^- \end{pmatrix}_L \quad I = \frac{1}{2}; I_3 = +\frac{1}{2}; \quad Y = -1$$

$$-\frac{1}{2}; \quad -1$$

$$\begin{pmatrix} u \\ d' \end{pmatrix}_L \quad +\frac{1}{2}; \quad = +\frac{1}{3}$$

$$-\frac{1}{2}; \quad = +\frac{1}{3}$$

für linkshändige Teilchen; rechtshändige haben  $I=0$  und  $I_3=0$   
aber Hyperladung  $Y \neq 0$ !

# Felder der $U(1)_Y \otimes SU(2)_L$ -Theorie

Eichprinzip: lokale Phasenänderung  $\rightarrow$  äußere Felder

$$U(1)_Y : B^\mu$$

koppelt an Hyperladung

$$SU(2)_L : W_1^\mu, W_2^\mu, W_3^\mu$$

... an schwachen Isospin

daraus folgen die Bosonen der elektroschwachen WW:

$$W^\pm = \frac{1}{\sqrt{2}} (W_1^\mu \mp iW_2^\mu) \quad \text{geladene } W\text{'s}$$

$$Z^\mu = -B^\mu \sin\theta_w + W_3^\mu \cos\theta_w \quad \text{neutr. } Z$$

$$A^\mu = B^\mu \cos\theta_w + W_3^\mu \sin\theta_w \quad \text{neutr. Photon}$$

- die Mischung von  $B^\mu$  und  $W_3^\mu$  sorgt dafür, daß das Photon masselos bleibt, während das Z massiv wird.
- $\theta_w$  ist der schwache Mischungswinkel (exp. zu messen)
- $W^\pm$  koppeln nur an linkshändige Teilchen
- $Z^0, \gamma$  koppeln (durch  $B^\mu$  Feld) auch an rechtshändige
- Kopplung des Photons:  $g_e = e = \sqrt{4\pi\alpha_{em}}$

$$\sim \text{des } W^\pm :$$

$$g_w = \frac{e}{\sin\theta_w}$$

und:

$$\sim \text{des } Z^0 :$$

$$g_z = \frac{e}{\sin\theta_w \cos\theta_w}$$

$$\frac{m_W}{m_Z} = \cos\theta_w$$

elmagn. und schwache Kopplung vereint!

# Experimente zur elektroschwachen Theorie

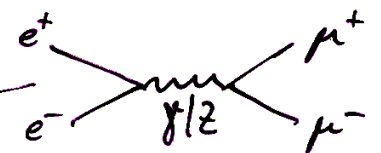
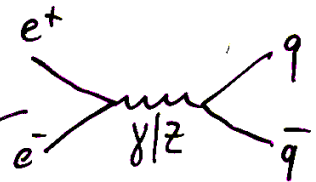
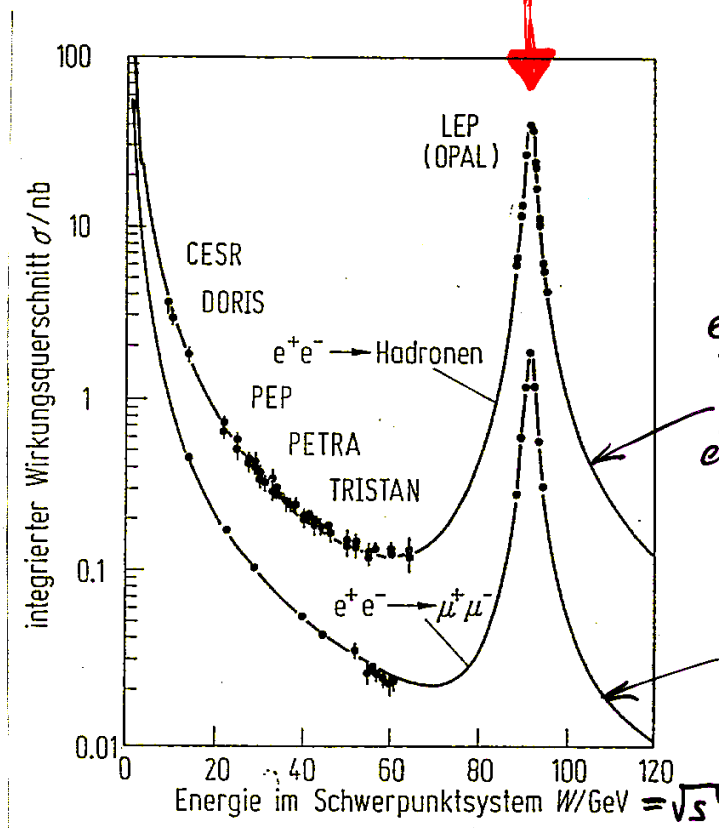
hier nur: Präzisionsexperimente am LEP Beschleuniger

- ▶  $e^+e^-$  - Vernichtung  $\rightarrow Z^0$  - Erzeugung und -Zerfall
- ▶ Schwerpunktsenergie  $\approx$  Masse des  $Z^0$



Resonanz im Wirkungsquerschnitt

$(\sigma \sim \frac{1}{s} + Z\text{-Resonanz})$   
 $s$ : Schwerpunktsenergie<sup>2</sup>



- Lage des Resonanzmaximums  $\rightarrow$  Masse des  $Z^0$
- Breite des Resonanzkurve  $\rightarrow$  Zerfallsbreite des  $Z^0$  ( $\hat{=}$   $1/\text{Lebensdauer}$ )

# Physik des $Z^0$ -Bosons

Vermessung der Resonanzkurve  $\hat{=}$  Zählerexperiment

$$\underbrace{N}_{\text{Zahl der Reaktionen}} = \underbrace{\sigma}_{\text{Wirkungsquerschnitt}} \cdot \underbrace{\int \mathcal{L} dt}_{\text{integrierte Luminosität}}$$

(aus Beschleunigerparametern oder Referenzprozess mit wohl-bekanntem Wirkungsquerschnitt)

► Klassifikation der Reaktionen ( $Z^0$ -Zerfälle)

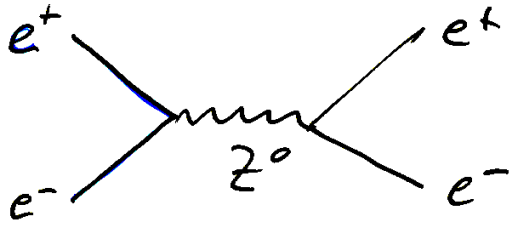
$$Z^0 \rightarrow ee^-, \mu^+\mu^-, \tau^+\tau^-, \nu\bar{\nu}, q\bar{q}$$

► Vermessung der Resonanzkurve:

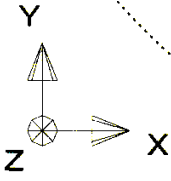
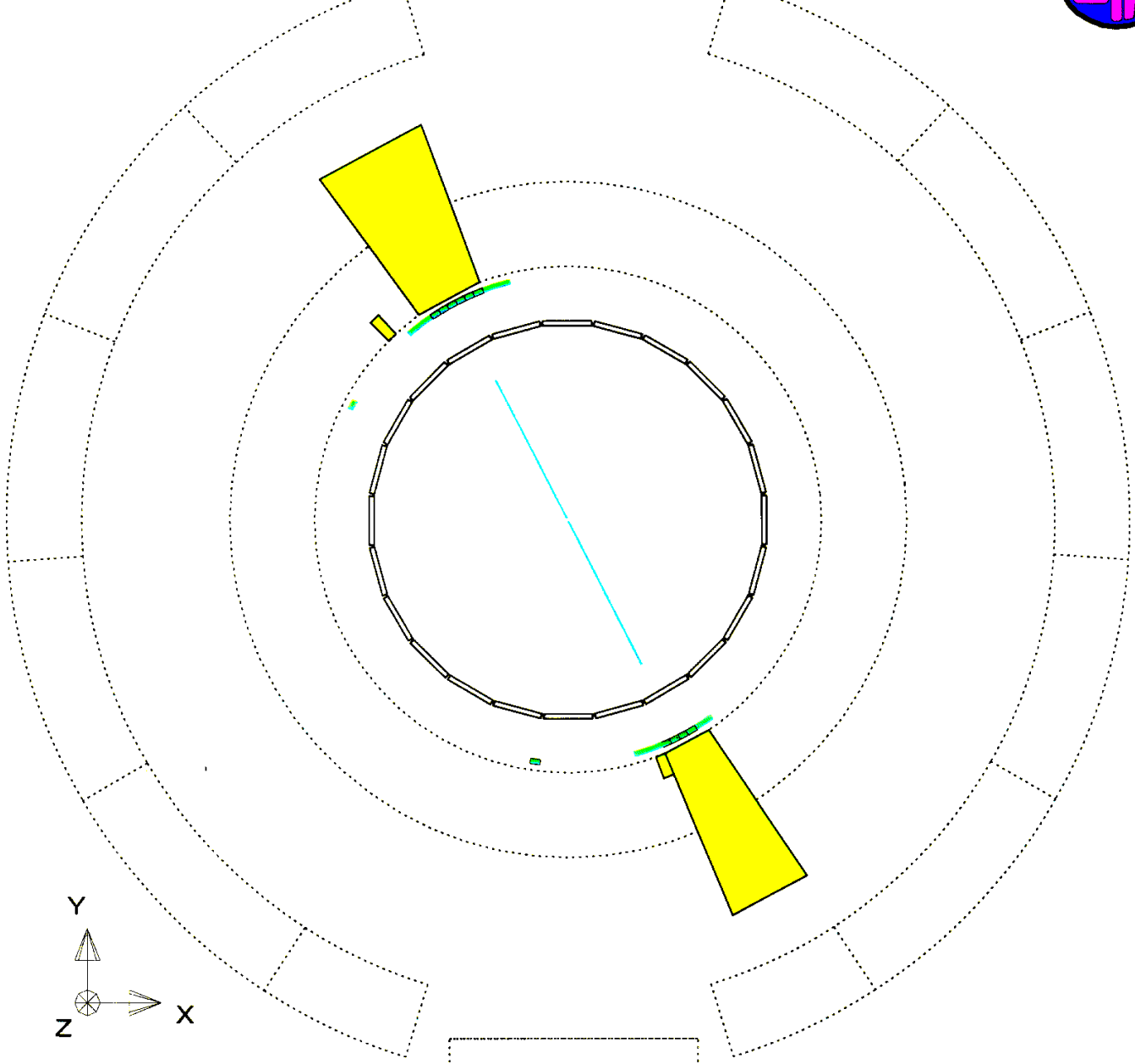
◦ Masse:  $m_{Z^0} = 91187.1 \pm 2.1 \text{ MeV}/c^2$

◦ Breite:  $\Gamma_Z = 2494.4 \pm 2.4 \text{ MeV}$

► Unterscheidung der Endprodukte des  $Z^0$ -Zerfalls läßt auch die Bestimmung der Zerfallshäufigkeiten (Verzweigungsverhältnisse) und ihre Komposition zur Gesamtbreite (unsichtbare  $Z^0$ -Zerfälle?!) zu



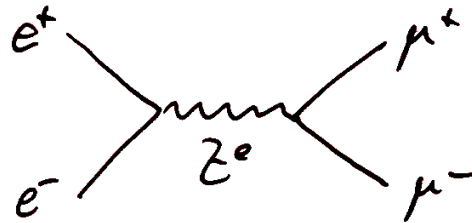
Run: event 4095: 1150 Date 930527 Time 20751 Ctrk(N= 2 Sump= 92.4) Ecal(N= 9 SumE= 90.5) Hcal(N= 0 SumE= 0.0)  
 Ebeam 45.658 Evis 94.4 Emis -3.1 Vtx ( -0.05, 0.08, 0.36) Muon(N= 0) Sec Vtx(N= 0) Fdet(N= 1 SumE= 0.0)  
 Bz=4.350 Thrust=0.9979 Aplan=0.0006 Oblat=0.0039 Spher=0.0001



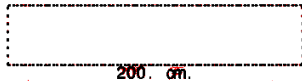
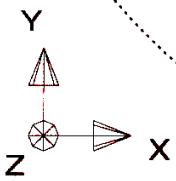
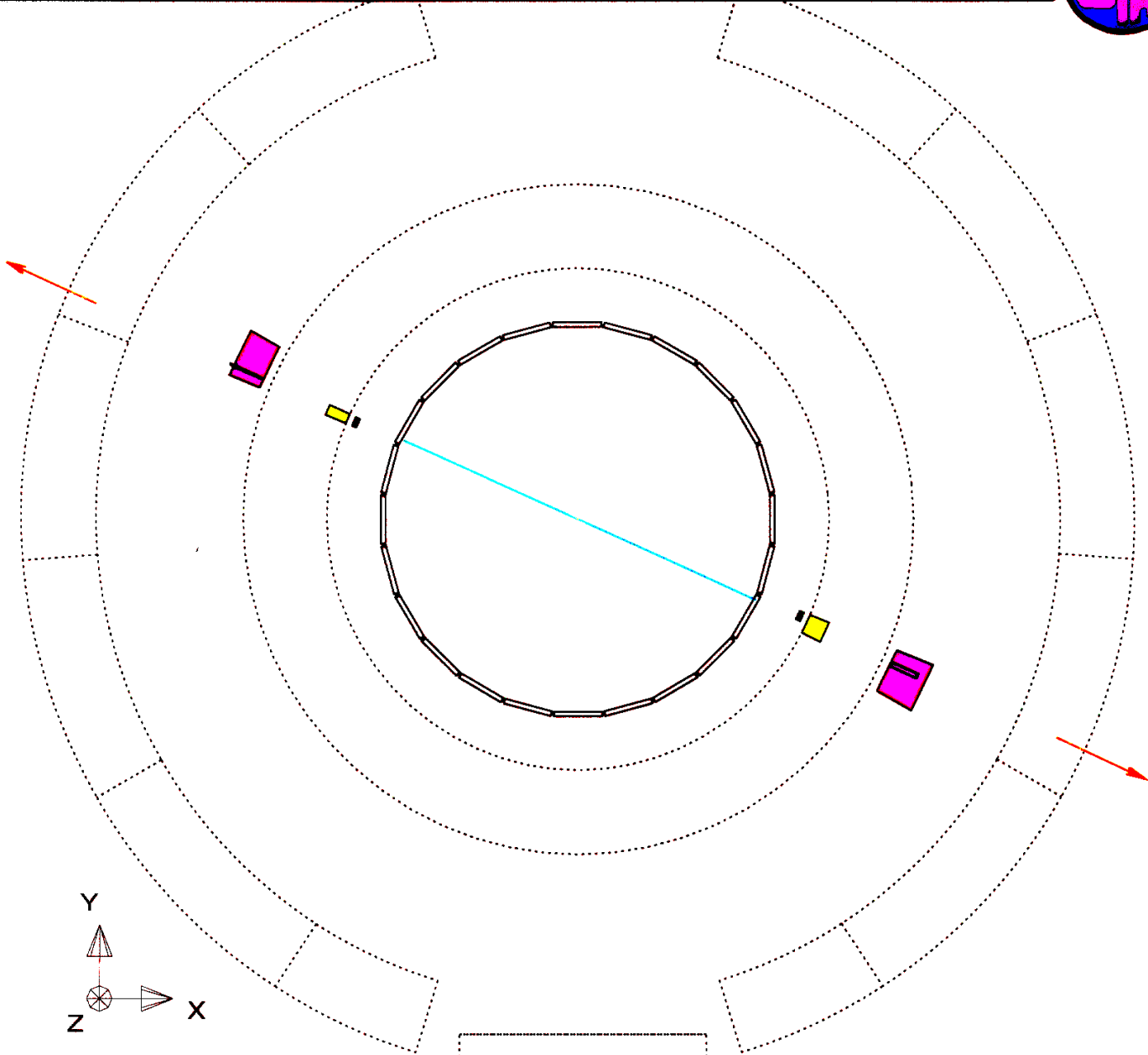
200 cm.

5 10 20 50 GeV

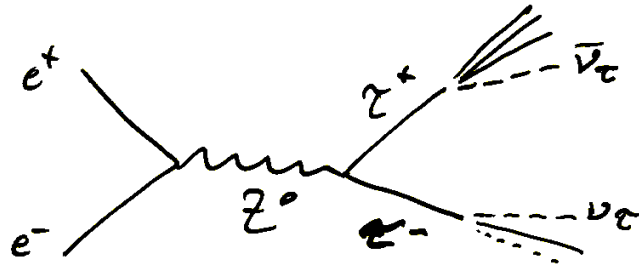
Centre of screen is ( 0.0000, 0.0000, 0.0000)



Run:event 4093: 4556 Date: 830527 Time: 22439 Ctrk(N= 2) Sump(= 86.8) Ecal(N= 5) SumE= 1.6) Hcal(N= 4) SumE= 4.0)  
 Ebeam 45.658 Evis 90.8 Emiss 0.8 Vtx ( -0.05, 0.08, -0.36) Muon(N= 2) Sec Vtx(N= 0) Fdet(N= 0) SumE= 0.0)  
 Bz=4.350 Thrust=0.9999 Aplan=0.0000 Cblat=0.0110 Spher=0.0003

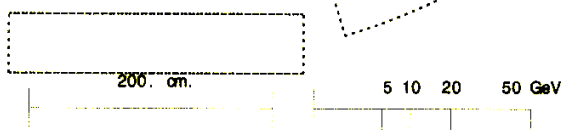
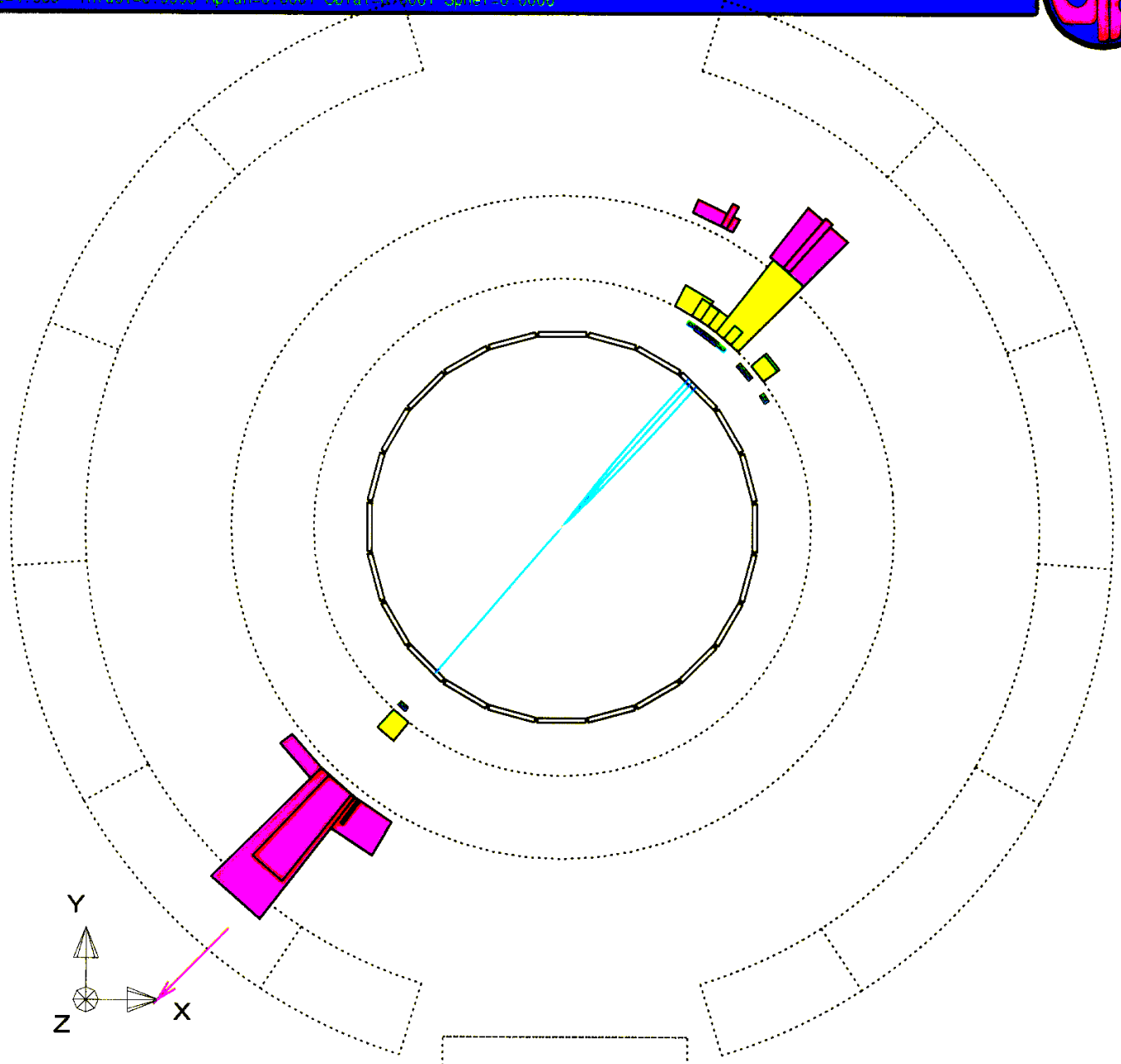


Centre of screen is ( 0.0000, 0.0000, 0.0000)



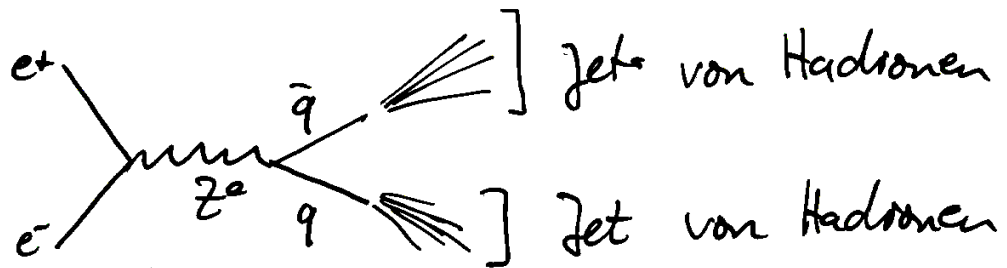
Lebensdauer des  $Z$ :  
 $\tau_Z \approx 290 \text{ fs}$

Run: event 4302: 75672 Date 930717 Time 225034 Ctrk(N= 4 Sump= 72.1) Ecal(N= 14 SumE= 23.7) Hcal(N= 9 SumE= 46.4)  
 Ebeam 45.619 Evis 121.9 Emias -30.7 Vtx ( -0.04, -0.04, -0.29) Muon(N= 1; Sec Vtx(N= 0) Foeti(N= 0 SumE= 0.01  
 Sz=4.950 Thrust=0.9993 Aplan=0.9001 Calat=0.9961 Spher=0.0006

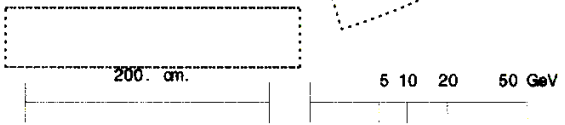
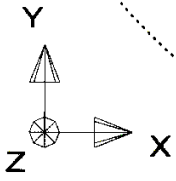
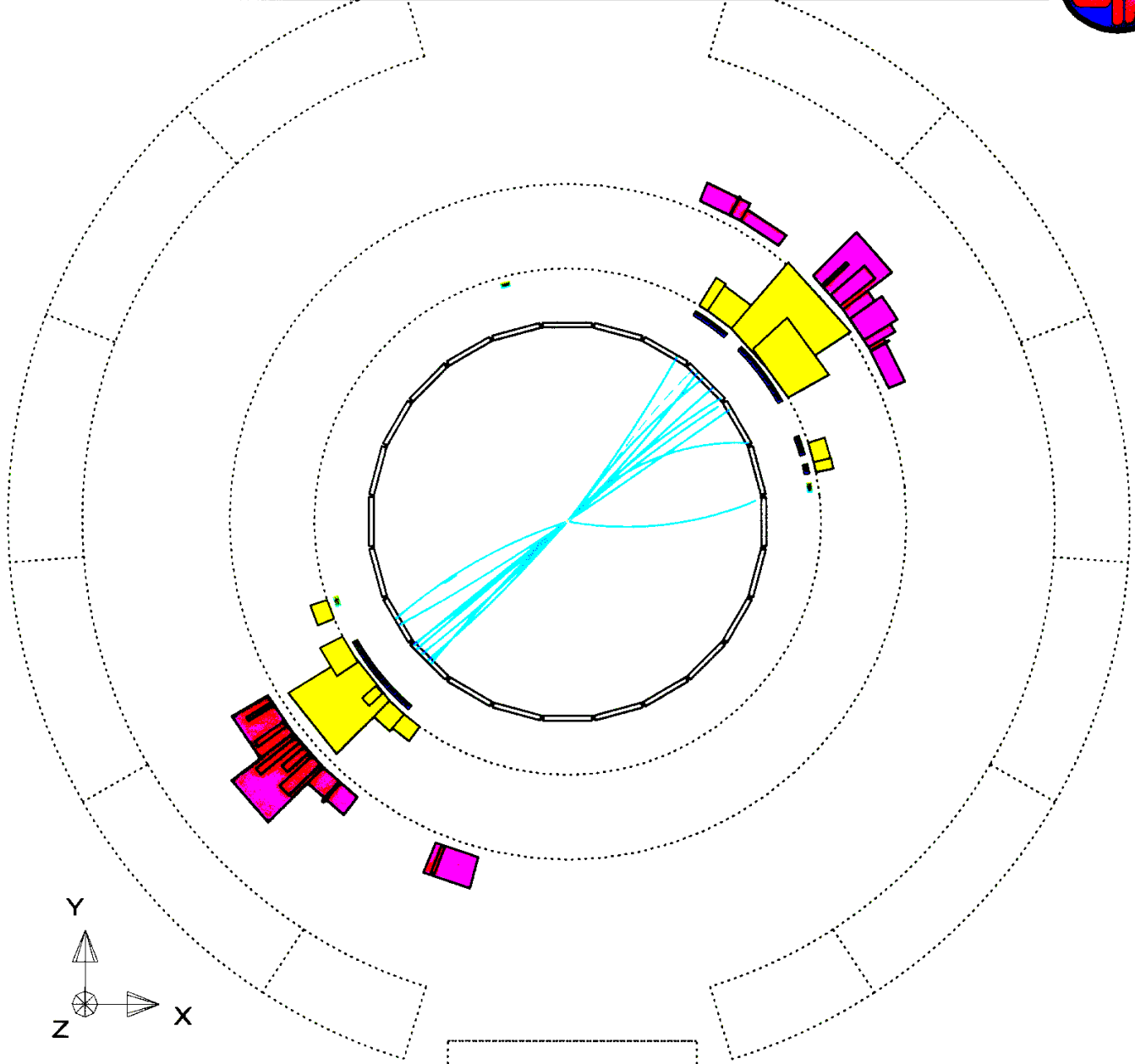


Centre of screen is ( 0.0000, 0.0000, 0.0000)

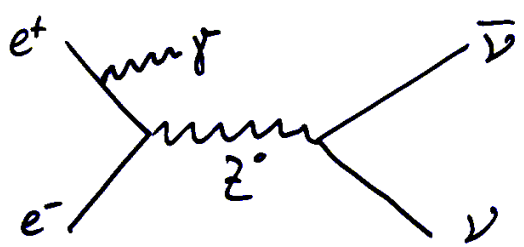




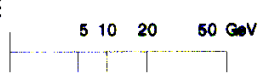
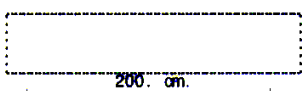
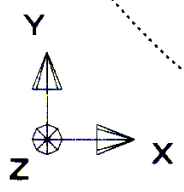
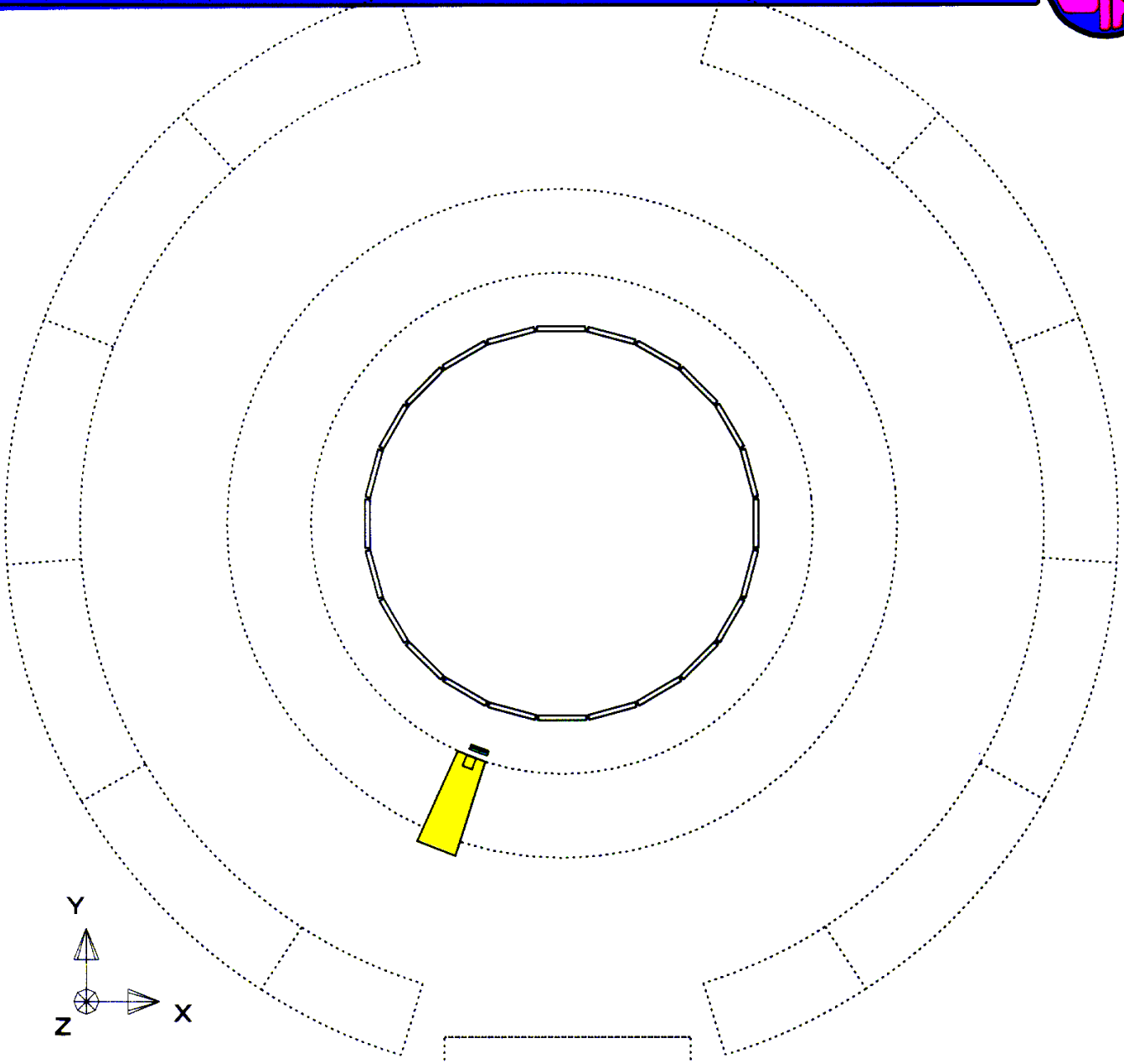
Run: event 4093: 1000 Date 930527 Time 20716 Ctrk(N= 39 Sump= 73.3) Ecal(N= 25 SumE= 32.6) Hcal(N=22 SumE= 22.6)  
 Ebeam 45.658 Evis 99.9 Emiss -8.6 Vtx ( -0.07, 0.06, -0.80) Muon(N= 0) Sec Vtx(N= 3) Fdelt(N= 0 SumE= 0.9)  
 Ec=4.350 Thrust=0.9873 Aplan=0.0017 Obfat=0.0248 Spher=0.0073



Centre of screen is ( 0.0000, 0.0000, 0.0000)



Run event 2468: 66487 Date 910819 Time 91037 Ctrk(N= 0 Sump= 0 0) Ecal(N= 4 SumE= 15.3) Hcal(N= 0 SumE= 0.0)  
 Ebeam 45.613 Evis 15.3 Emiss 75.9 Vtx ( -0.12, 0.12, 0.19) Muon(N= 0) Sec Vtx(N= 0) Fdet(N= 0 SumE= 0.0)  
 Bz=4.350 Thrust=0.9993 Aplan=0.0000 Oblat=0.0049 Spher=0.0000



Centre of screen is ( 0.0000, 0.0000, 0.0000)

# Z<sup>0</sup> - Resonanzkurve

- relevant: Kopplung des Z<sup>0</sup> an e<sup>±</sup>, μ<sup>±</sup>, τ<sup>±</sup>, ν<sup>l</sup>, ν̄<sup>l</sup>
- hat zwei Anteile:

Fermion f	Ladung Q <sub>f</sub>	axial-vektorielle g <sub>Af</sub> = $\frac{I_{3f}}{2}$ links-	vektorielle Kopplg. g <sub>Vf</sub> = $\frac{I_{3f} - 2Q_f \sin^2 \theta_w}{2}$ links- / rechtshändig
ν <sub>e</sub> , ν <sub>μ</sub> , ν <sub>τ</sub>	0	+1/2	+1/2 = +0.50
e <sup>-</sup> , μ <sup>-</sup> , τ <sup>-</sup>	-1	-1/2	-1/2 + 2 sin <sup>2</sup> θ <sub>w</sub> = -0.05
u, c, t	+2/3	+1/2	+1/2 - 4/3 sin <sup>2</sup> θ <sub>w</sub> = +0.20
d, s, b	-1/3	-1/2	-1/2 + 2/3 sin <sup>2</sup> θ <sub>w</sub> = -0.35

mit sin<sup>2</sup> θ<sub>w</sub> = 0.23

- partielle Zerfallsbreite (↔ Verzweigungsverhältnis)

$$\Gamma_f = \frac{G_F m_Z^3}{6\pi\sqrt{2}} (g_{Vf}^2 + g_{Af}^2) \cdot \underbrace{N_c}_{\text{Farbfaktor}} \begin{cases} = 1 \text{ Leptonen} \\ = 3 \text{ Quarks} \end{cases}$$

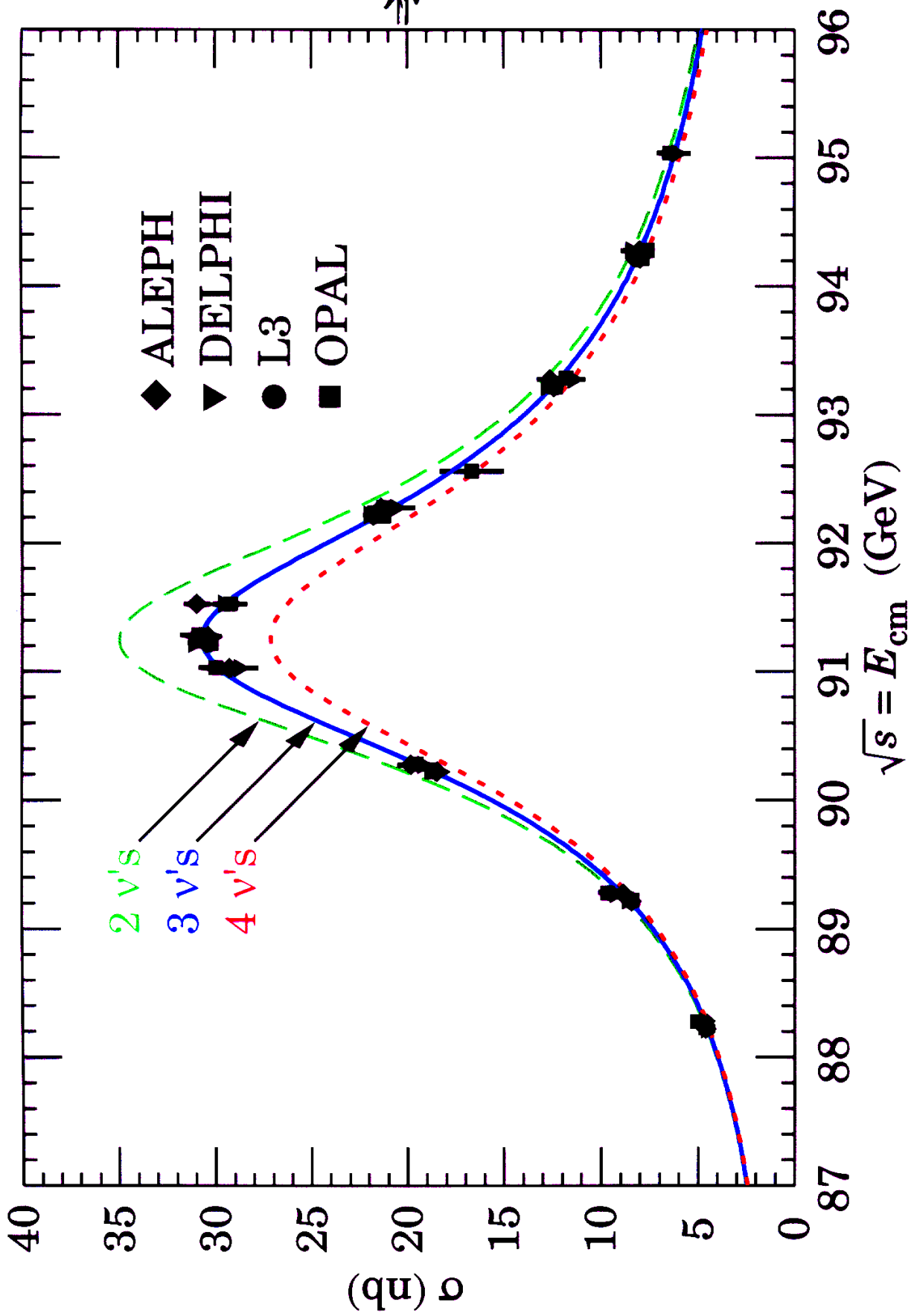
≈ 332 MeV

- Wirkungsquerschnitt (ohne Interferenz mit  $\sum_f \Gamma_f$ )

$$\sigma(s) = \sum_{\text{Fermion } f} 12\pi \cdot \Gamma_e \cdot \Gamma_f \cdot \frac{s}{\underbrace{((s-m_Z^2)^2 + m_Z^2 \Gamma_e^2)}_{\text{Resonanznenner}}}$$

s = (Schwerpunktenergie)<sup>2</sup>

# Z<sup>0</sup>-Resonanzkurve für 2, 3 oder 4 Sorten von Neutrinos



# Z° Eigenschaften

aus partiellen Zerfallsbreiten

→ Verzweigungsverhältnisse

$$Z \rightarrow \nu\bar{\nu} : l^+l^- : q\bar{q} \approx 20\% : 10\% : 70\%$$

dabei ist  $Z \rightarrow q\bar{q}$

$$Z \rightarrow d\bar{d} : u\bar{u} : s\bar{s} : c\bar{c} : b\bar{b} \approx 22\% : 17\% : 22\% : 17\% : 22\%$$

und keine Mischung zwischen verschiedenen Quarks

$$\cancel{Z \rightarrow u\bar{c}, s\bar{d}}$$

(keine sog. flavour ändernden neutralen Ströme FCNC)

weiterhin: Leptonuniversalität in  $Z \rightarrow \nu\bar{\nu}, l^+l^-$ :

$$Z \rightarrow \nu_e\bar{\nu}_e : \nu_\mu\bar{\nu}_\mu : \nu_\tau\bar{\nu}_\tau = \frac{1}{3} : \frac{1}{3} : \frac{1}{3}$$

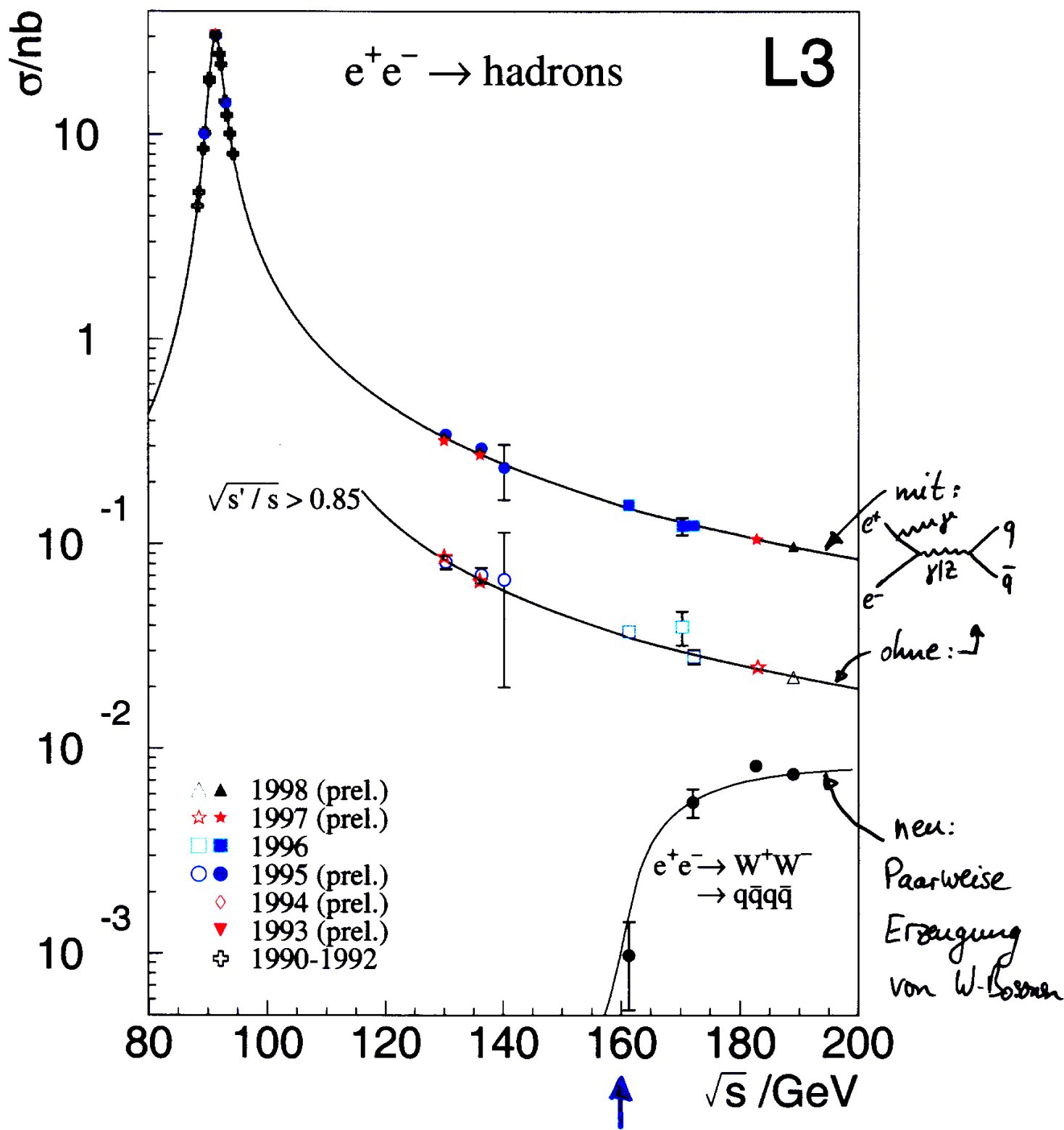
$$Z \rightarrow e^+e^- : \mu^+\mu^- : \tau^+\tau^- = \frac{1}{3} : \frac{1}{3} : \frac{1}{3}$$

↑  
Masse von  $m_\tau = 1.776 \text{ GeV}/c^2$  ergibt Korrekturen

Alle diese Erwartungen wurden von den LEP-Experimenten mit höchster Präzision (teilweise  $< 1\%$ )

bestätigt gefunden (natürlich bis auf  $Z \rightarrow \nu_e\bar{\nu}_e : \nu_\mu\bar{\nu}_\mu : \nu_\tau\bar{\nu}_\tau$ )

# Wirkungsquerschnitt zu höheren Schwerpunktsenergien



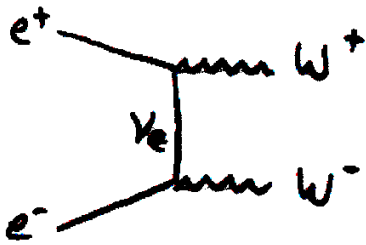
Ab etwa  $2 \times$  Masse des W-Bosons setzt

W-Paarproduktion ein!

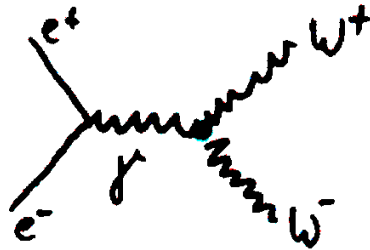
→ Präzise Untersuchung der W-Boson-Eigenschaften

# W-Paarproduktion an LEP II

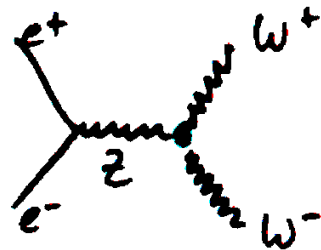
Bei Schwerpunktsenergien oberhalb  $\sqrt{s} \gtrsim 2 \cdot m_W$  tritt bei  $e^+e^-$ -Vernichtung W-Paarproduktion auf



Konversion (t-Kanal)



Annihilation (s-Kanal)

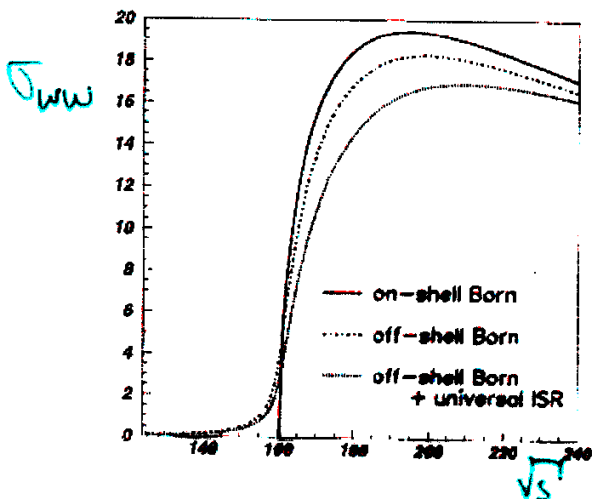


(sog. CC3 Graphen: "Charged Current", 3 Graphen)

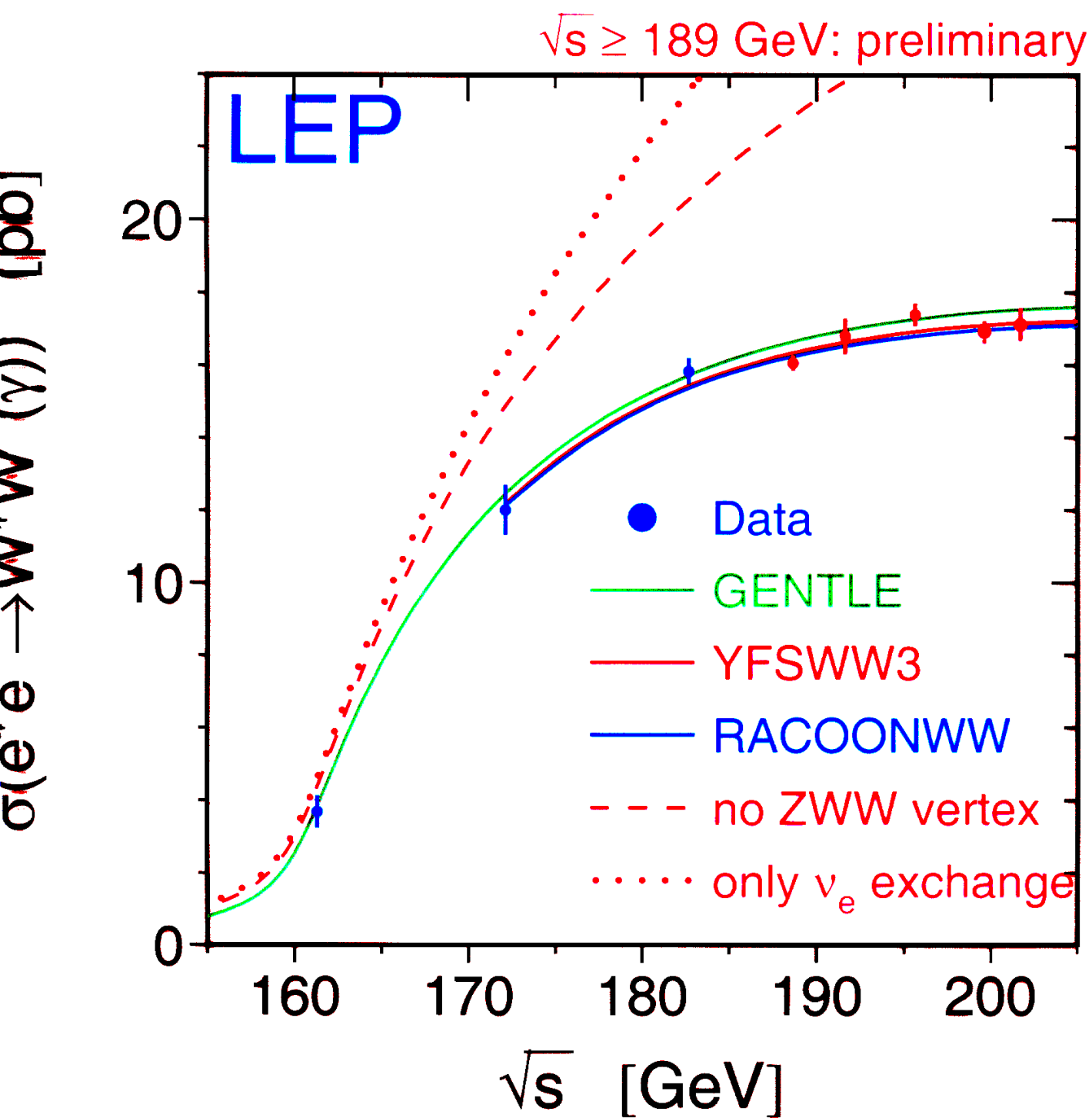
Nah der Schwelle wird Produktions-WQ durch t-Kanal gegenüber s-Kanal ( $\sim \beta^3$ ) dominiert. In niedrigster Ordnung (Born-Term) für on-shell W-Bosonen:

$$\sigma_{WW}^{\text{Born}} \propto \frac{\pi \alpha^2}{s} \frac{1}{(1 - m_W^2/s)} \cdot \beta$$

$$\text{mit } \beta = \frac{v}{c} = \sqrt{1 - 4m_W^2/s}$$



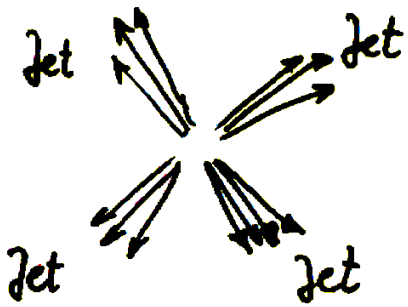
Endliche W-Breite  $\Gamma_W$   
 ( $\rightarrow$  off-shell W-Produktion)  
 und ISR schmieren scharfe  
 Produktionsschwelle aus





# W-Physik: Topologien bei W-Paarzeugung

•  $WW \rightarrow q\bar{q}q\bar{q}$



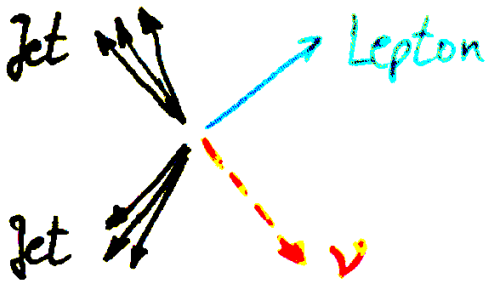
etwa 45% aller WW-Endzustände

4 Jets

Gesamtimpuls gut balanciert

Energiesumme  $\Sigma E \approx \sqrt{s}$

•  $WW \rightarrow q\bar{q}l\nu$



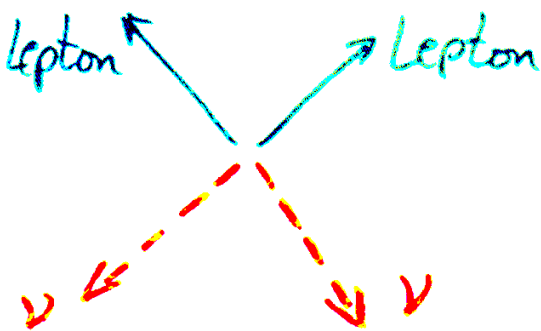
etwa 44% aller WW-Endzustände

2 Jets

1 energiereiches Lepton  
(wohl separiert von Jets)

fehlender Transversalimpuls & Energie

•  $WW \rightarrow l\nu l\nu$



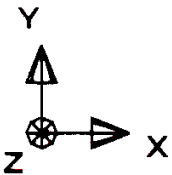
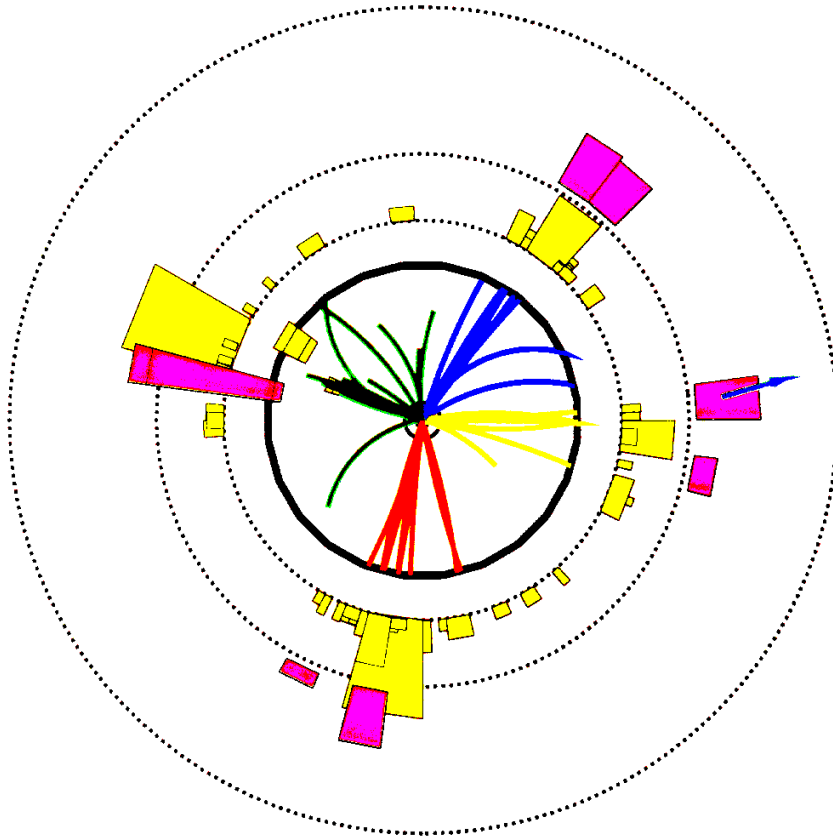
etwa 11% aller WW-Endzustände

2 energiereiche Leptonen  
(i.a. akoplanar)

fehlender Transversalimpuls & Energie

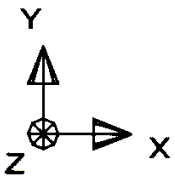
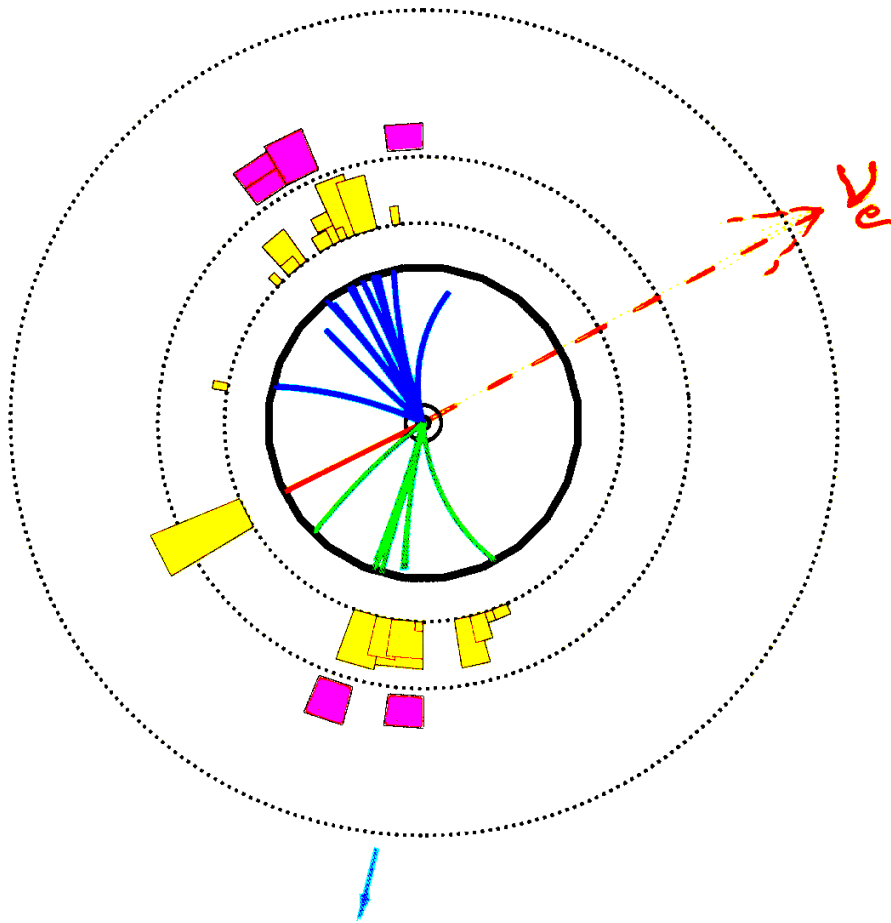
$$e^+e^- \rightarrow W^+W^- \begin{cases} \rightarrow q\bar{q}' \\ \rightarrow q''\bar{q}'' \end{cases}$$

Run even 11075-131269 Clk(N: 56 Simp: 93.5) Era1(N: 87 Simp: 114.8)  
 Era2(N: 95 Simp: 114.8) Era3(N: 101 Simp: 106.75) Era4(N: 21 Simp: 117.1) Mon(N: 1)



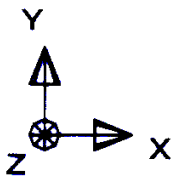
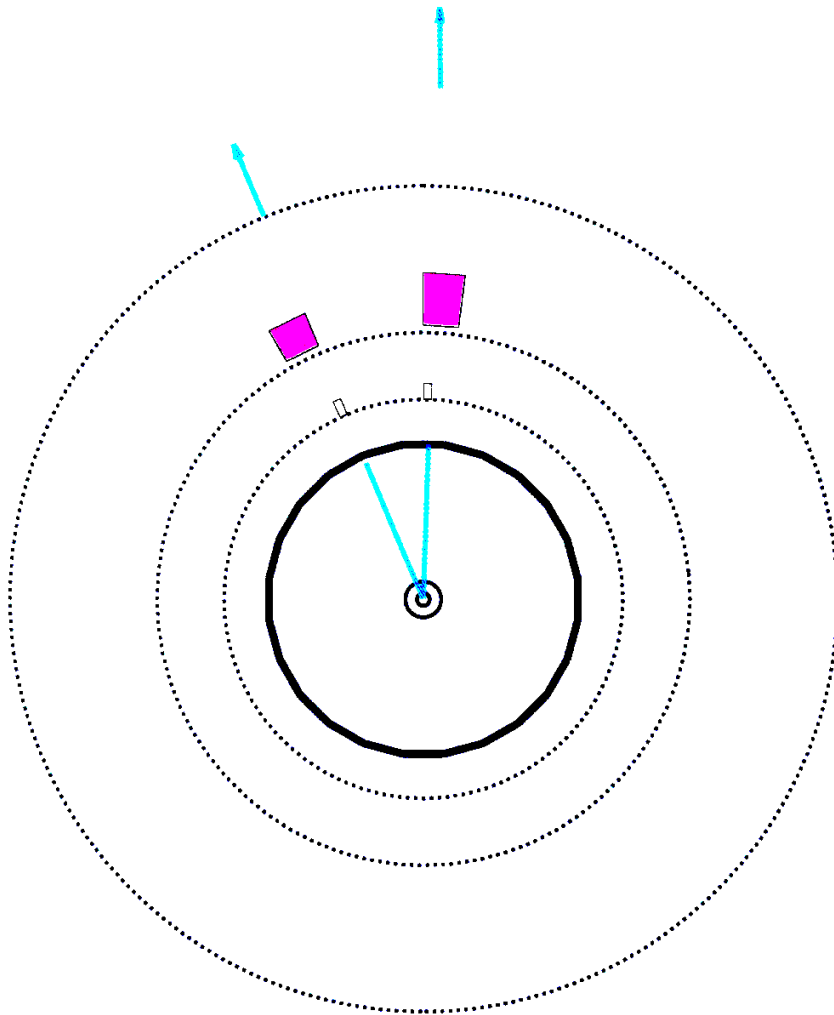
$$e^+e^- \rightarrow W^+W^- \rightarrow \begin{cases} q\bar{q}' \\ e^+\nu_e \end{cases}$$

Run1 event(1271): 03781    011k(N: 20) 000 (1) 30a(N: 97) 00dB: 00.01  
 Run1 97.836 Vis ( -03, -05, -09) 30a(N: 10) 00dB: 10.1) 000(N: 1)



$$e^+e^- \rightarrow W^+W^- \begin{cases} \rightarrow \mu^- \bar{\nu}_\mu \\ \rightarrow \mu^+ \nu_\mu \end{cases}$$

Run: 000011203 71701 Coll(X)= 2 Stag: 70.01 Beam(X)= 9 Stag: 0  
 Ebeam: 27.779 V(X)= (.09, .09, .15) Beam(Y)= 5 Stag: 10.1 NumofS: 1



# W<sup>±</sup> Eigenschaften

- relevant: Kopplung des W<sup>±</sup> an e, μ, τ, ν, q
- • partielle Zerfallsbreite

$$\Gamma_{f_i \bar{f}_i} = \frac{G_F m_W^3}{6\pi \sqrt{2}} \cdot |V_{ij}|^2 \cdot N_c$$

$\approx 227 \text{ MeV}$       Mischungs-  
matrix für  
Quarks      Farbfaktor

$\left. \begin{array}{l} = 1 \text{ Leptonen} \\ = 3 \text{ Quarks} \end{array} \right\}$

⇒ Verzweigungsverhältnisse:

$$W \rightarrow l \bar{\nu} : q \bar{q}' \approx 32\% : 68\%$$

dabei ist  $W \rightarrow q \bar{q}'$   $\left( \sum_{i,j=u,d,s,c,b} |V_{ij}|^2 \approx 2 \right)$

$$W^+ \rightarrow u \bar{d} : c \bar{s} : u \bar{s} : c \bar{d} : c \bar{b} : u \bar{b} \approx 47.5\% : 47.5\% : 2.4\% : 2.4\% : 0.3\% : 10^{-5}$$

und Leptonuniversalität in  $W \rightarrow l \nu$

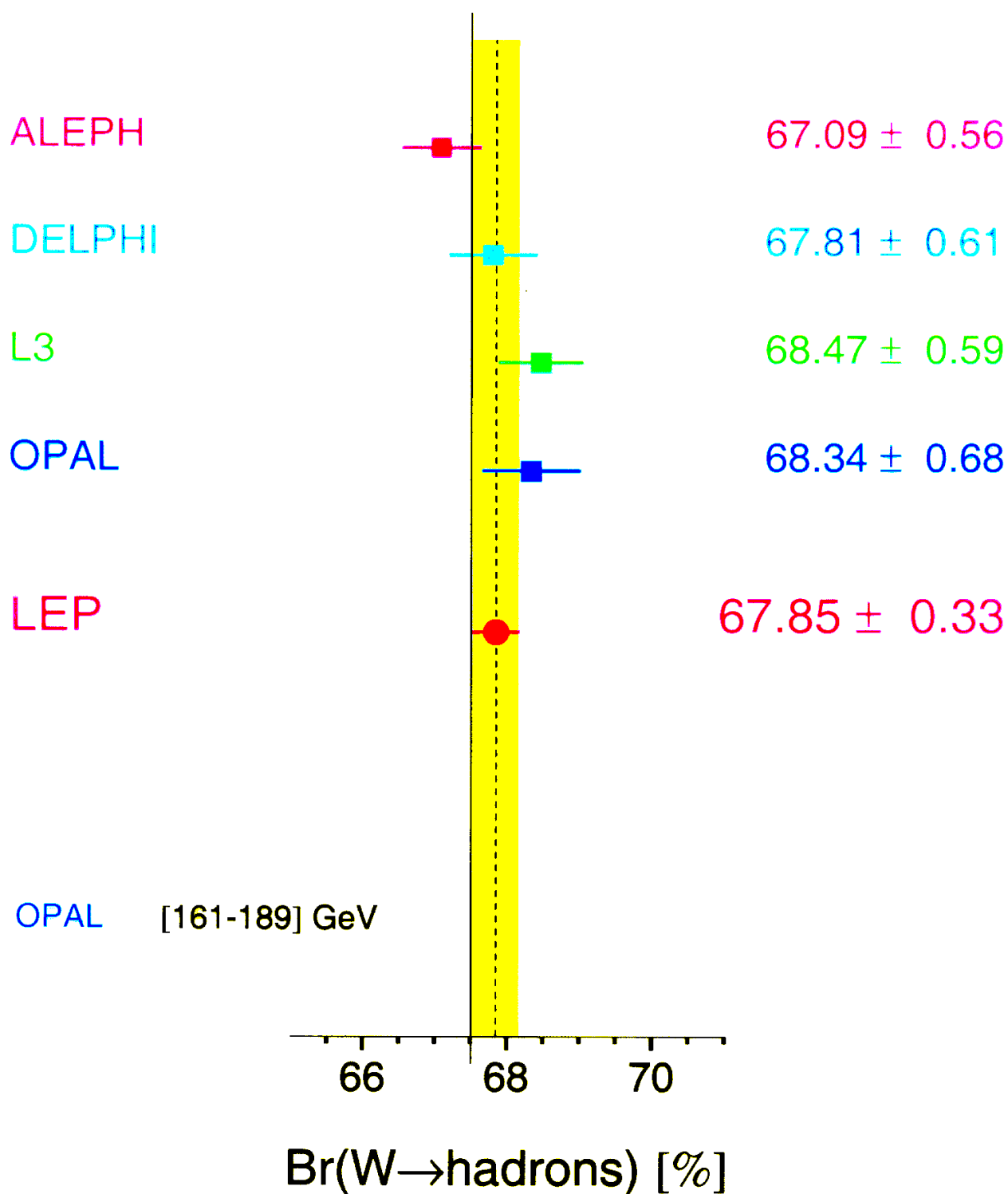
$$W^+ \rightarrow e^+ \nu_e : \mu^+ \nu_\mu : \tau^+ \nu_\tau = \frac{1}{3} : \frac{1}{3} : \frac{1}{3}$$

↑  
 Masse  $m_\tau = 1.77 \text{ GeV}/c^2$  ergibt Korrekturen

Alle diese Erwartungen wurden von den LEP-Experimenten mit höchster Präzision (typisch < 1%) bestätigt gefunden (Ausnahme: Quark-Mischungsmatrix)

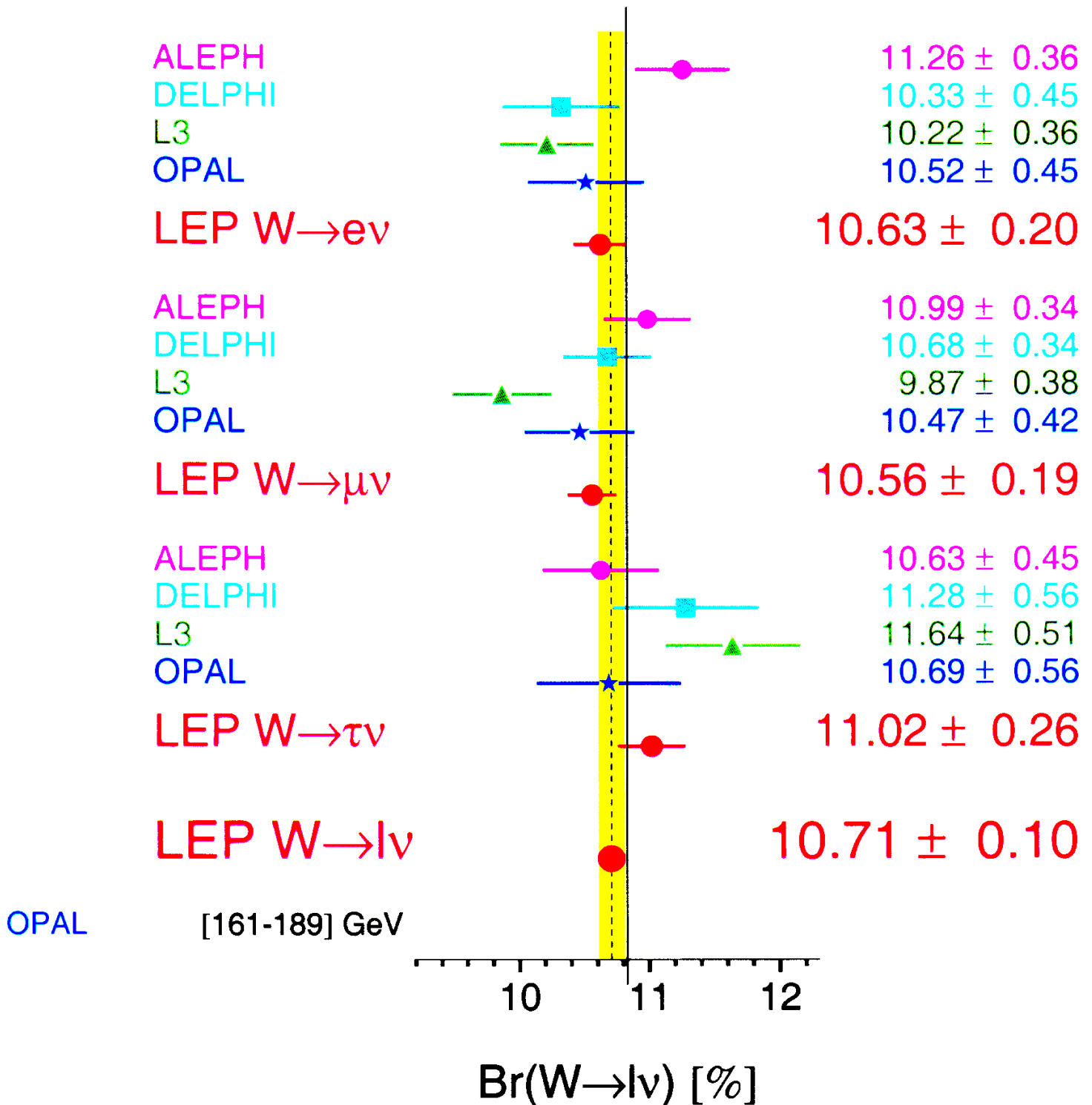
Winter 00 - Preliminary - [161-202] GeV

# Br(W→hadrons) [%]



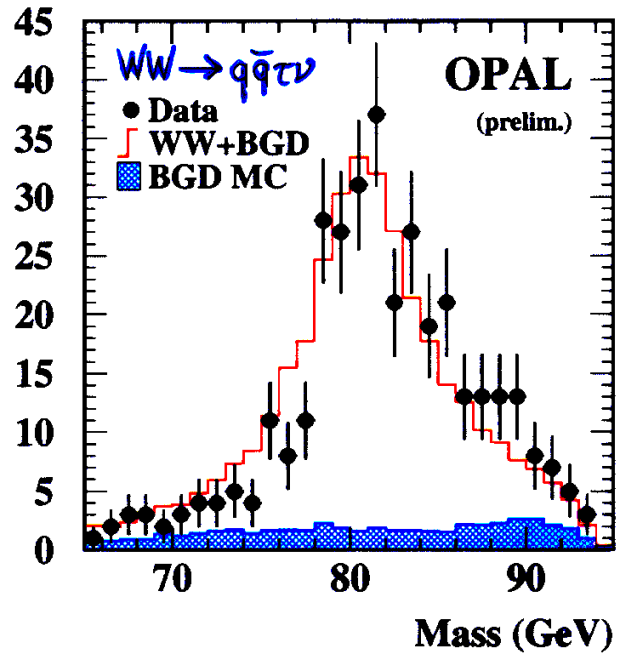
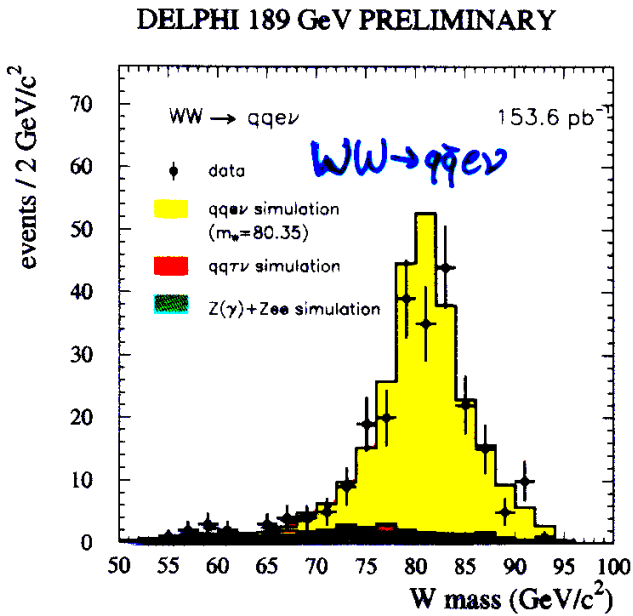
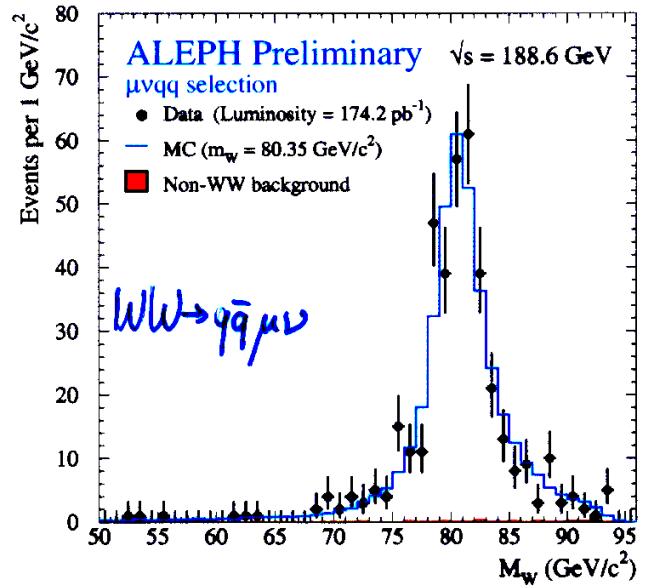
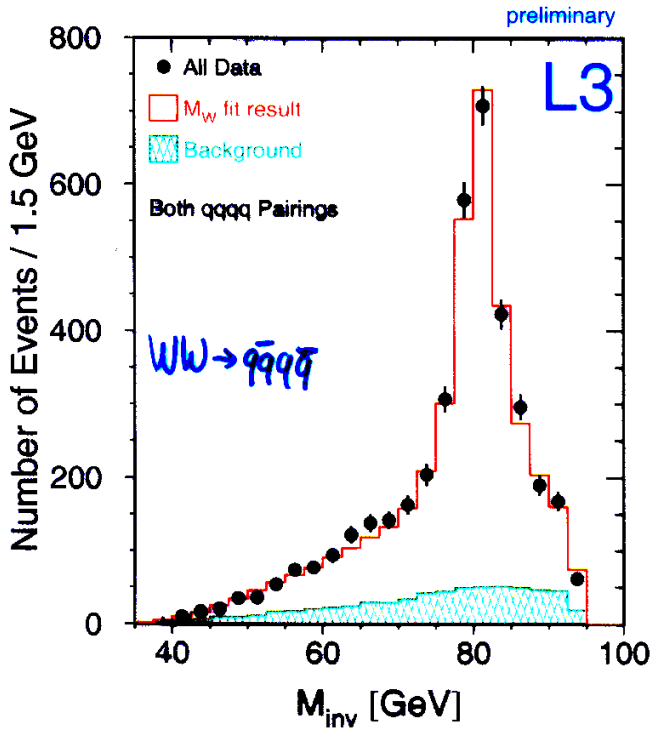
Winter 00 - Preliminary - [161-202] GeV

# W Leptonic Branching Ratios

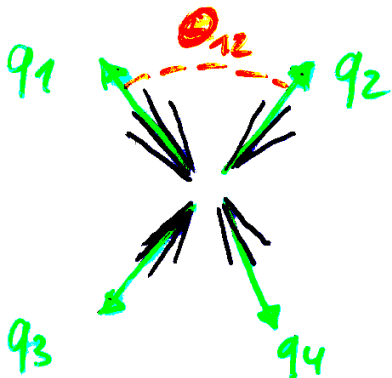


$\Rightarrow$  Leptonuniversalität

# W<sup>±</sup>-Masse und Zerfallsbreite



Rekonstruiere Impuls & Energie der Zerfallsteilchen / Jets

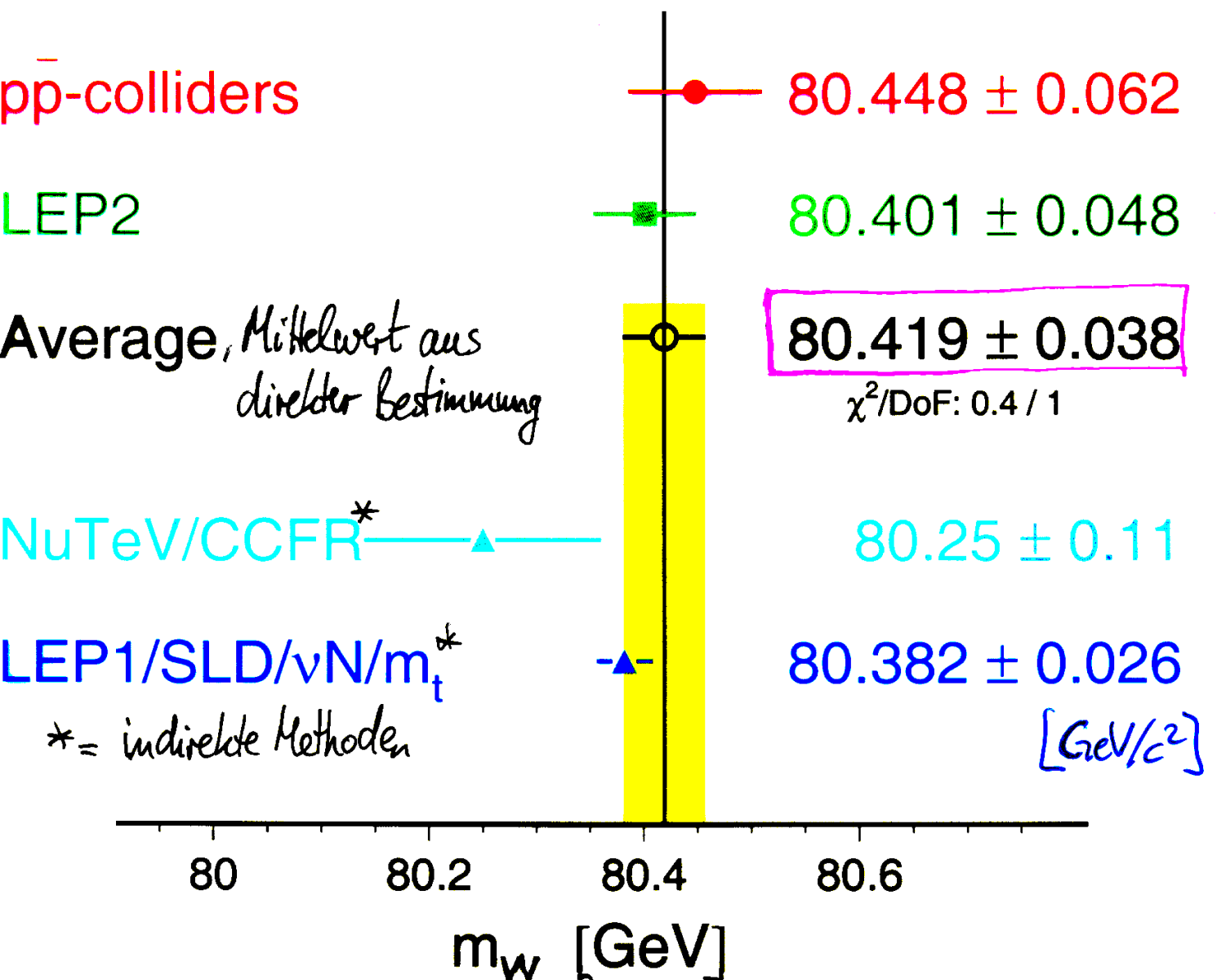


$$\Rightarrow m_{12} \cdot c^2 = \sqrt{2E_1 E_2 \cdot (1 - \cos \theta_{12})} ; \text{ditto } m_{34}$$

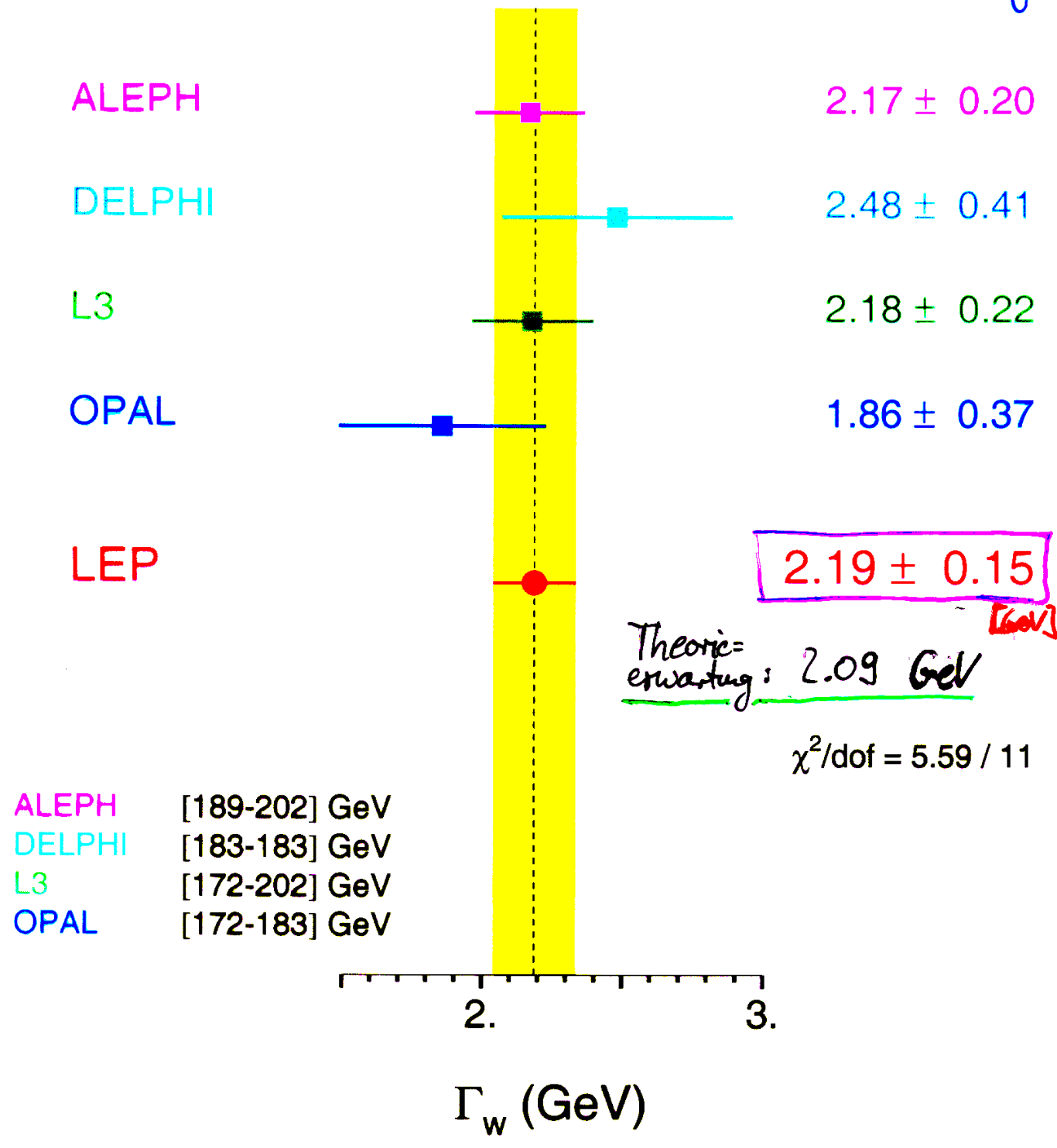
Nutze Energie- & Impulserhaltung aus! Insbesondere falls ein ν im Endzustand vorliegt



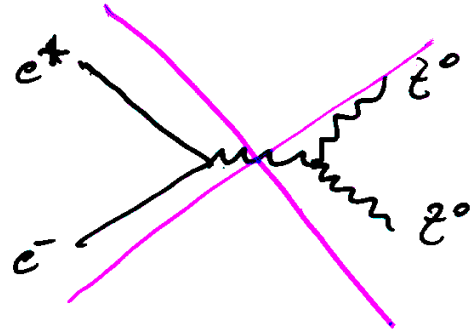
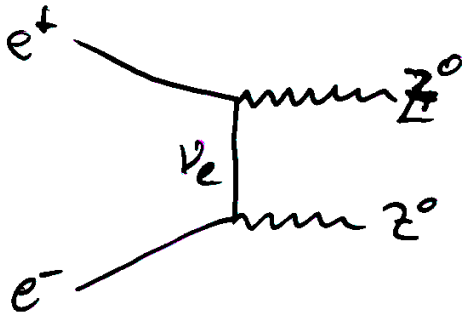
# W-Boson Mass [GeV]



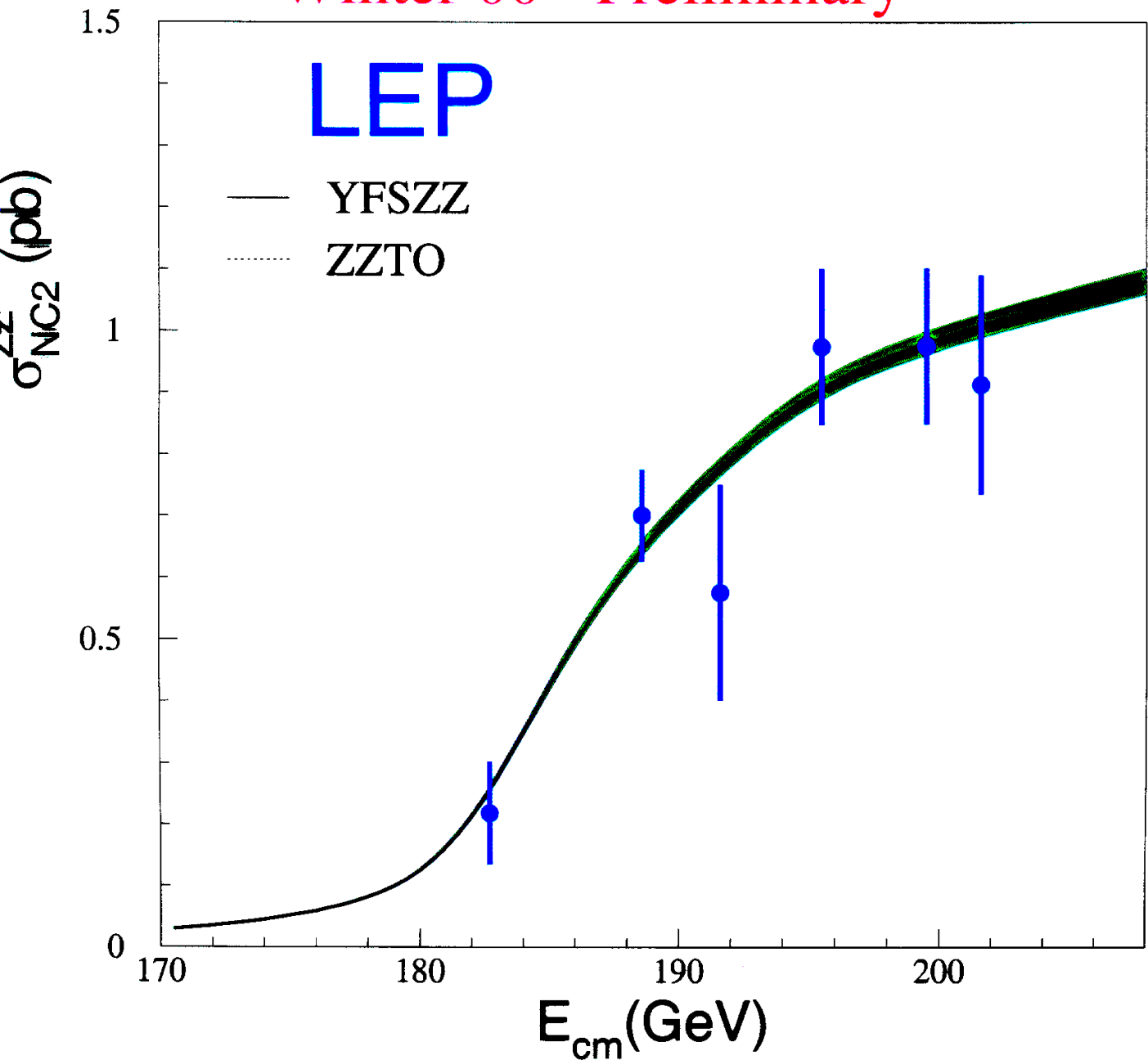
$\Gamma_W$  (GeV) folgt aus Breite der Massenverteilung




# $e^+e^- \rightarrow Z^0Z^0$ Production



Winter 00 - Preliminary



Run: event12150: 58205      CirK(N= 37 SumP=184.2) Ecal(N= 44 SumE= 48.0) 

EBrem 99.828 Vtx (-0.05, 0.05, -0.04)      Bcal(N=17 SumE= 26.6) Muon(N= 4)

$m_{\mu\mu\mu} \sim 88.9 \text{ GeV}$        $m_{qq} \sim 90.2 \text{ GeV}$

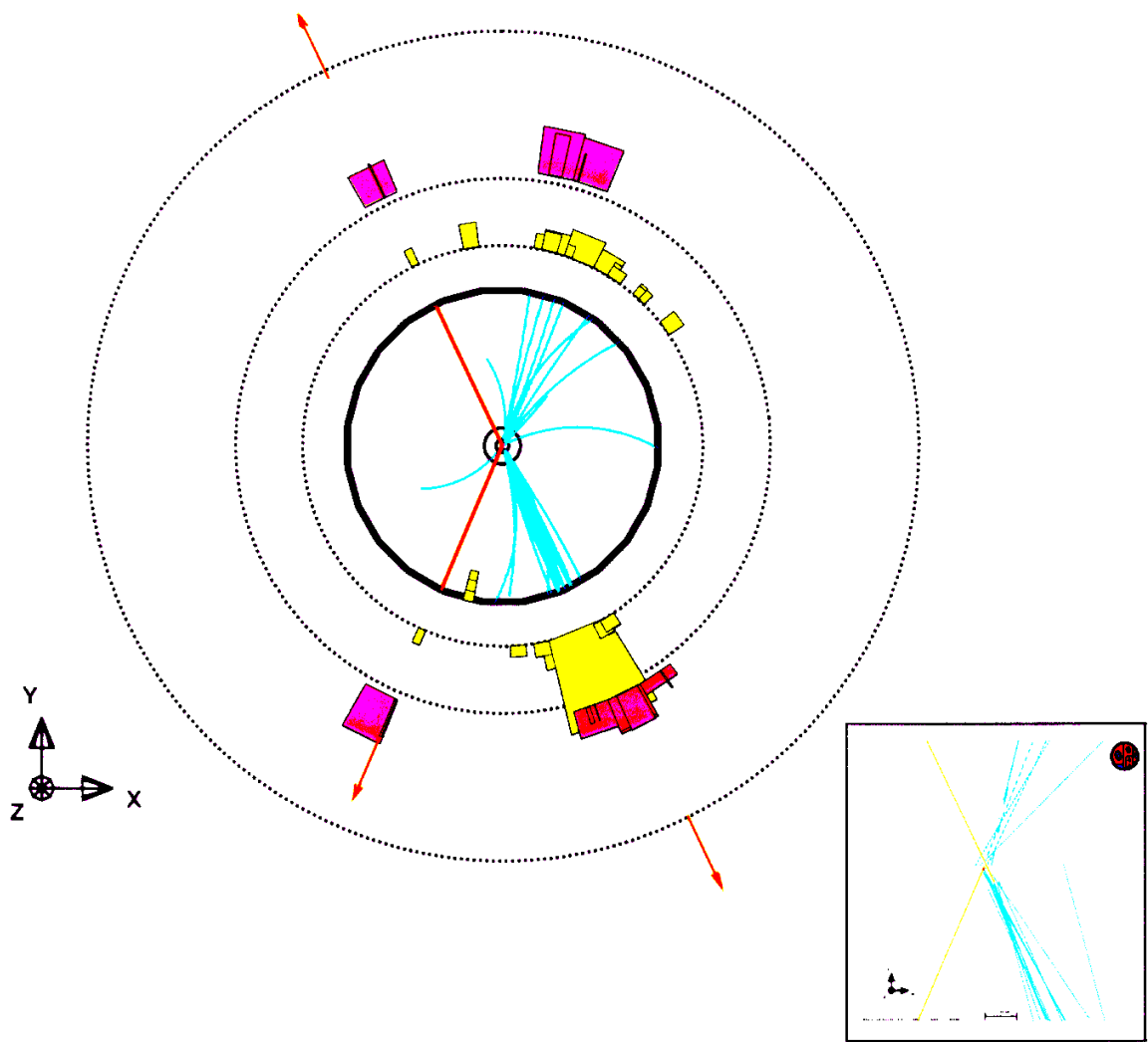


Figure 13: A candidate  $e^+e^- \rightarrow ZZ \rightarrow b\bar{b}\mu^+\mu^-$  event observed in the 200 GeV data sample. The vertex view shows tracks with momentum of 1 GeV or more.

# Konsistenz der elektroschwachen Theorie?

$$G_F = \frac{\sqrt{2}}{8} \left( \frac{g_W}{m_W} \right)^2 \rightarrow m_W^2 = \frac{\sqrt{2}}{8G_F} \cdot g_W^2 = \frac{\sqrt{2}}{8G_F} \cdot \frac{e^2}{\sin^2 \theta_W} = \frac{\sqrt{2}}{8G_F} \frac{e^2}{(1 - (m_W/m_Z)^2)}$$

elektroschw. Theorie:  $m_W^2 = \frac{\pi \alpha_{em}}{\sqrt{2} G_F} \cdot \frac{1}{1 - m_W^2/m_Z^2} \cdot \text{Kontrib. (} m_{top}, \dots \text{)}$

direkte  $m_W$ -Bestimmung.      indirekte  $m_W$ -Bestimmung aus Präzisionsmeßgrößen  $\alpha_{em}, G_F, m_Z$

Theorie ist konsistent!

